



ÉCOLE NATIONALE DES SCIENCES APPLIQUÉES DE KÉNITRA

Moroccan foundation for Advanced Science, Innovation
and Research
(MAsciR)

Rapport de Projet de Fin d'Année

Étude et réalisation d'un system RFID

Réalisé par :
Otmane BOUAYAD

Encadré par :

Mme Tomader MAZRI : Encadrante Académique
Mme Ilham BOUZIDA : Encadrante professionnelle

(Du 15 Février au 25 Août 2016)

Dédicace

I would like to dedicate this work to my wife, Oumaima, for her love, encouragement, and continuous support, my parents, who has taught me many things in life and include the one thing I've tried to live by : “*Never give up on your dreams. Hard work and diligence will see you through so long as you never give up.*” So it is with all my love, respect, and admiration that I dedicate this to you. My sister and my best friends forever Reda and Nouhaila, my future engineers. remember “*Accomplishment is product of thoughts, mind is everything*”.

Remerciements

Avant tout développement sur cette expérience professionnelle, il apparaît opportun de commencer ce rapport de stage par des remerciements, à ceux qui nous ont beaucoup aidé au cours de ce stage, et même à ceux qui ont eu la gentillesse de faire de ce stage un moment très profitable.

Aussi, Nous tenons plus particulièrement à remercier Mme Ilham BOUZIDA, ingénieur qualité dans l'équipe packaging à MASCIR, et à M. Brahim LAKSSIR, chef de service packaging à MASCIR, nos maîtres de stage qui ont la part de lion dans notre formation et accompagnement professionnels avec beaucoup de patience et de savoir-faire.

Je souhaite remercier mon promoteur et mon encadrant à l'école Pr. Tomader MAZRI pour ses instructions et son aide lors du stage.

Finalement , nous remercions l'ensemble des employés de la Fondation MASCIR pour les conseils qu'ils ont pu nous prodiguer au cours de ce stage.

Enfin, j'adresse tous mes remerciements les plus sincères à tous les enseignants de l'ENSA de Kénitra pour avoir contribué à la formation que j'ai acquise lors de mon cursus.

Table des matières

| | |
|---|-----------|
| Remerciements | 5 |
| Introduction | 13 |
| 1 Présentation de l'entreprise d'accueil | 15 |
| 1.1 Présentation générale de MAScIR | 15 |
| 1.1.1 Partenaires de la foundation | 16 |
| 1.1.2 Structure et hiérarchie | 16 |
| 1.2 Présentation du département microélectronique | 17 |
| 1.2.1 Mission | 17 |
| 1.2.2 Laboratoires | 17 |
| 1.2.3 Équipements | 18 |
| 1.3 Description et déroulement du stage | 19 |
| 1.3.1 Activités exercées | 19 |
| 1.3.2 Répartition des tâches | 19 |
| 2 Contexte Général du projet | 21 |
| 2.1 Cahier des charges | 21 |
| 2.1.1 Objectif | 21 |
| 2.1.2 Cahier des charges | 21 |
| 2.1.3 Mise au point de la problématique | 21 |
| 2.2 Déroulement chronologique du stage | 22 |
| 2.2.1 Étapes de réalisation | 22 |
| 2.2.2 Diagrammes de Gantt | 23 |
| 2.3 Décomposition du projet | 24 |
| 3 Étude détaillée du Projet | 25 |
| 3.1 Description de la solution | 25 |
| 3.1.1 Le system de base RFID | 25 |
| 3.1.2 Les composants essential d'un system RFID | 26 |
| 3.1.3 Source d'énergie d'un Tag | 28 |
| 3.1.4 Fréquences de fonctionnement | 29 |
| 3.1.5 Fonctionnalité | 33 |
| 3.1.6 Normes | 33 |
| 3.1.7 Modes de transfert d'énergie et de communication | 34 |
| 3.1.8 Liaison montante et liaison descendante | 34 |
| 4 Les solution propose et étude théorique | 37 |
| 4.1 Client et interface RFID | 37 |
| 4.1.1 Étude du marche | 38 |
| 4.1.2 <i>Middleware</i> / et Protocole de communication | 38 |

| | | |
|----------|--|-----------|
| 4.1.3 | Rôle le d'interface RFID | 38 |
| 4.1.4 | Vue globale sur l'inerface RFID | 40 |
| 4.1.5 | Chronologie de fonctionnement du protocole | 41 |
| 4.2 | SmartFlah | 43 |
| 4.2.1 | La plateforme android | 43 |
| 4.2.2 | Étude du marcher de l'agriculture | 43 |
| 4.2.3 | La conception de la base de données | 43 |
| 4.2.4 | Fonctionnalité | 45 |
| 4.3 | Antenne UHF | 46 |
| 4.3.1 | Introduction | 46 |
| 4.3.2 | Tag antenne et Base du die | 47 |
| 4.3.3 | Design du Tag | 48 |
| 4.3.4 | Conception de mise en œuvre pratique | 49 |
| 4.3.5 | Minaturisation des antenne CLA | 51 |
| 5 | Réalisaion et simulation du projet | 57 |
| 5.1 | Outils de réalisation et de simulation | 57 |
| 5.1.1 | Visuel Studio et .net C# | 57 |
| 5.1.2 | Android Studio | 59 |
| 5.1.3 | CST studio | 60 |
| 5.2 | Test et vérification | 61 |
| 5.2.1 | RFID Desktop | 61 |
| 5.2.2 | Application Android - SmartFlah | 63 |
| 5.2.3 | Antenne UHF | 65 |

Table des figures

| | | |
|------|---|----|
| 1.1 | Localisation de la fondation MASCIR | 15 |
| 1.2 | Salle blanche | 18 |
| 1.3 | Laboratoire de fiabilité et analyse de défauts | 18 |
| 2.1 | Bibliographie et résolution des problèmes | 23 |
| 2.2 | Middleware et Interface graphique | 23 |
| 2.3 | Développement de l'application Samrt | 23 |
| 2.4 | Conception du transporteur | 24 |
| 3.1 | Illustration du système RFID | 26 |
| 3.2 | Tag RFID | 26 |
| 3.3 | Interaction du Lecteur RFID avec son environnement | 27 |
| 3.4 | Mode de transfert d'énergie non simultané | 34 |
| 3.5 | Mode de transfert d'énergie simultané | 34 |
| 4.1 | Rappel du system RFID | 37 |
| 4.2 | Organigramme de l'interface RFID | 39 |
| 4.3 | Illustration du système RFID | 40 |
| 4.4 | Phase de négociation | 41 |
| 4.5 | Phase d'exécution | 42 |
| 4.6 | Etape de conception d'une base de données | 44 |
| 4.7 | Fonctionnalité de l'application | 45 |
| 4.8 | Fonctionnalité de l'application | 46 |
| 4.9 | L'antenne proposée | 47 |
| 4.10 | le circuit équivalent pour (a) une antenne en boucle; (b) RFID tag puce . | 47 |
| 4.11 | Circuit d'adaptation L-shape | 49 |
| 4.12 | Illustration RFID | 50 |
| 4.13 | UHF étiquette considérée | 50 |
| 4.14 | CLA - S11 | 52 |
| 4.15 | far-field pattern avant miniaturisation | 52 |
| 4.16 | CLA après miniaturisation | 52 |
| 4.17 | X-Ray du tag UHF | 53 |
| 4.18 | Tag UHF améliorer | 53 |
| 4.19 | S11 apres coupage de 2mm | 54 |
| 4.20 | S11du tag UHF améliorer | 55 |
| 5.1 | Interface Visual studio | 58 |
| 5.2 | Architecture du Framework .net | 59 |
| 5.3 | Interface de Android Studio | 60 |
| 5.4 | Interface CST | 61 |

| | | |
|------|--|----|
| 5.5 | Rappel du system RFID | 61 |
| 5.6 | L'interface utilisateur | 62 |
| 5.7 | LF RFID system | 63 |
| 5.8 | Première layout | 64 |
| 5.9 | Première layout | 64 |
| 5.10 | Première layout | 65 |
| 5.11 | Radiation pattern | 66 |
| 5.12 | réflexion,conduction,perte de diélectrique | 66 |
| 5.13 | Paramettre de sumulation CLA | 67 |
| 5.14 | Paramettre de sumulation CLA | 68 |
| 5.15 | antenne a boucle circulaire | 68 |
| 5.16 | Paramettre de sumulation CLA | 69 |
| 5.17 | S11du tag UHF améliorer | 69 |
| 5.18 | Paramettre de sumulation CLA | 70 |

Liste des tableaux

| | | |
|-----|---|----|
| 2.1 | QQOQCCP | 22 |
| 2.2 | Répartition des tâches | 23 |
| 3.1 | Comparaison de tag passif , semi- passif et actif | 29 |
| 3.2 | fréquences de fonctionnement RFID | 30 |
| 3.3 | Classes de fonctionnalité des Tags | 33 |
| 4.1 | rrrrr | 44 |
| 4.2 | Réseau d'adaptation | 49 |
| 4.3 | Distance de lecture | 51 |

Introduction

Le terme RFID¹ englobe toutes les techniques qui utilisent les ondes radio pour identifier automatiquement des objets ou des personnes. Le système RFID autrement dit l'identification par radio fréquence est une technique qui permet de mémoriser et de récupérer des informations à distance grâce à une étiquette qui émet des ondes radio.

Le système RFID (audiofréquence identification) est une technique très attractive pour l'entreprise qui offre la possibilité d'une gestion automatique du nombre conséquent d'informations qu'elle doit traiter. Les équipements adaptés à ce système permettent de synchroniser les flux physiques avec les flux d'informations.

Dans le cadre du projet de fin d'études, j'ai eu l'opportunité de travailler sur cette technique avec la fondation MASCIR qui occupe une position leader sur le marché de la micro-électronique.

Le projet de fin d'études porte alors, sur l'étude et la réalisation d'une solution RFID UHF² qui assure l'identification et la traçabilité des entrées et sorties des palettes. Choisir les tags adaptés aux besoins en respectant les conditions d'utilisation et type de lecteur. Développer un logiciel de gestion des palettes. D'autre part, la réalisation d'un transpondeur RFID UHF et une application Android pour gestion du secteur d'agriculture.

Le mémoire que je présente est organisé en 6 chapitres.

- Chapitre 1 : Présentation de l'entreprise d'accueil ainsi qu'une description du déroulement du stage.
- Chapitre 2 : Contexte général du Projet.
- Chapitre 3 : Étude détaillé du projet
- Chapitre 4 : Les solutions proposé et étude théorique
- Chapitre 5 : Réalisation et simulation

1. Radio Frequency Identification
2. Ultra High Frequency

Chapitre 1

Présentation de l'entreprise d'accueil

1.1 Présentation générale de MASCIR

MASCIR¹ est un organisme de recherche à caractère scientifique et technologique. Il est voué à la recherche en nanotechnologie, en biotechnologie, en technologie numérique, en microélectronique, en énergie et en environnement. la fondation se veut présenter là où les enjeux de la société l'exigent.

La figure suivante montre l'emplacement de l'entreprise.

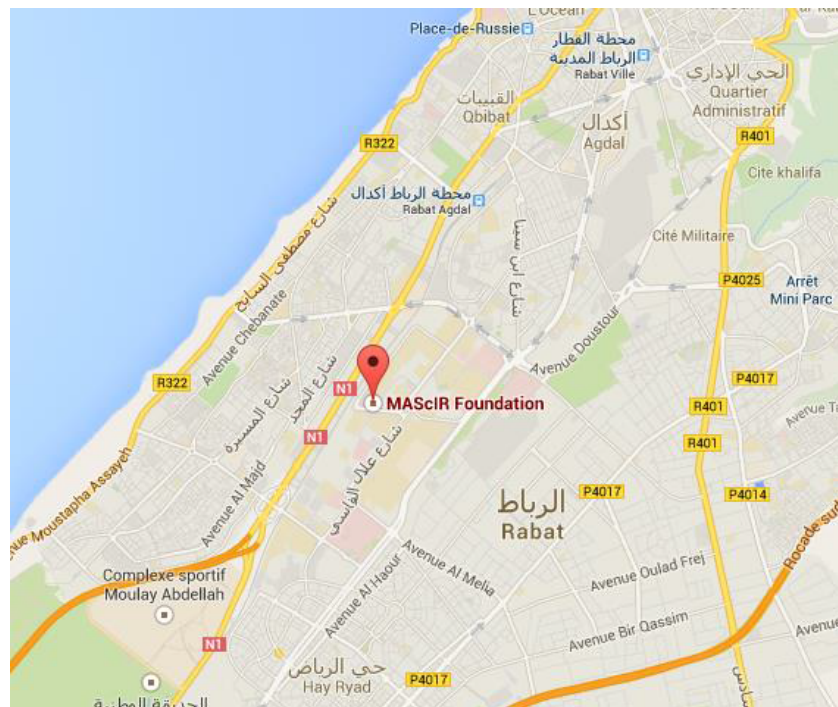


FIGURE 1.1 – Localisation de la fondation MASCIR

Rassemblant d'éminents chercheurs des quatre coins du monde, MASCIR regroupe

1. Moroccan foundation for Advanced Science, Innovation and Research

des équipes scientifiques œuvrant dans des domaines innovants et complémentaires et met à leur disposition une infrastructure scientifique de pointe.

Initialement fondée en 2007 par le Gouvernement Marocain en tant que fondation à but non lucratif MAScIR a continué son expansion en créant :

MAScIR MicroElectronics a pour objectif de devenir un centre de Recherche et développement dans le domaine de la microélectronique.

MAScIR BioTechnology deuxième centre inscrit dans MAScIR œuvrant dans le domaine de la biotechnologie : recherche et développement des médicaments ou des biocides.

NanoTechnology qui a pour mission de mener des recherches appliquées, innovantes et à la fine pointe de la technologie dans le domaine des nanomatériaux et des nanotechnologies. Ces recherches sont menées par une équipe internationale de haut calibre travaillant dans un environnement unique et utilisant une infrastructure de pointe.

1.1.1 Partenaires de la foundation

Les principaux partenaires de la fondation MAScIR MicroElectronics sont :

Lear Corporation est l'un des principaux fournisseurs mondiaux de sièges automobiles et les systèmes de gestion de l'énergie électrique.

Thales figure parmi les leaders européens de la fabrication et de la commercialisation d'équipements et de systèmes électroniques destinés aux secteurs de l'aérospatial, du transport, de la défense et de la sécurité.

OCP est un acteur incontournable sur le marché des phosphates et de ses produits dérivés. Présent sur toute la chaîne de valeur, il est le premier exportateur de cette matière dans le monde.

COSUMAR est un groupe marocain, filiale de la Société nationale d'investissement, spécialisé dans l'extraction, le raffinage et le conditionnement du sucre sous différentes formes. Il est devenu l'unique opérateur sucrier marocain après l'acquisition de SUTA, SUCRAFOR, SUNABEL et SURAC en 2005.

STERIMED est une société spécialisée dans le domaine de l'eau et des technologies de l'environnement. Son objectif est d'accompagner les entreprises et collectivités dans la résolution des problématiques liées à l'eau, l'environnement.

1.1.2 Structure et hiérarchie

La Fondation est gérée par un conseil d'administration qui est investi de pouvoirs de gestion à cet égard. Le Conseil dispose de quatre comités distincts : un Comité d'Investissement, un Comité de suivi, un comité de vérification et un Comité de Rémunération ; qui assurent une gestion rapprochée des sujets relatifs à leur mission.

Conseil d'administration détermine les orientations stratégiques de MAScIR et veille à leur mise en œuvre dans des réunions régulières. En prenant des décisions, le Conseil compte sur le travail des comités spécialisés.

Comité de vérification le rôle principal du Comité d'audit est de permettre à la Commission de veiller à la qualité des contrôles internes et l'intégrité de l'information divulguée aux intervenants et aux partenaires.

Comité des Rémunérations est responsable de faire des recommandations au Conseil sur la nomination des administrateurs. Il est également responsable de l'examen de la politique en matière de rémunération de la haute direction au sein de MAScIR.

Comité de suivi surveille la mise en œuvre effective et correcte des projets dans le cadre de l'accord signé entre MAScIR et le Gouvernement marocain.

Comité d'Investissement assiste le Conseil d'administration dans l'accomplissement de sa responsabilité de surveillance pour les actifs d'investissement liés à l'équipement scientifique.

1.2 Présentation du département microélectronique

MAScIR Micro est un centre d'innovation et développement de technologie dans le domaine de la microélectronique. Il se focalise sur la simulation, les tests, le design, le packaging, la qualification et le prototypage des produits microélectroniques.

1.2.1 Mission

Le programme Microélectronique a réuni une équipe de direction de classe mondiale pour assurer la traction initiale sous licence des technologies de pointe qui sont disponibles pour une utilisation immédiate.

Le programme Microélectronique a réuni une équipe de direction de classe mondiale pour assurer la traction initiale sous licence des technologies de pointe qui sont disponibles pour une utilisation immédiate.

MAScIR Micro fournit des services pour des clients industriels, mais elle développe aussi son propre business dans les domaines suivants :

- L'intégration et la miniaturisation des systèmes microélectroniques.
- L'analyse de fiabilité et défaillance des produits.
- Modélisation des systèmes complexes.
- Prototypage et industrialisation des produits innovants.
- Industrialisation des idées et résultats académiques.

1.2.2 Laboratoires

Le département microélectronique de MAScIR possède plusieurs laboratoires équipés de technologie avancée :

- Salle blanche
- Laboratoire de fiabilité et analyse de défauts
- Laboratoire électronique



FIGURE 1.2 – Salle blanche



FIGURE 1.3 – Laboratoire de fiabilité et analyse de défauts

1.2.3 Équipements

- Ligne CSP²
- Ligne SMT³
- SAM⁴
- X-Ray
- Chambres climatiques

Pour plus d'informations, visiter le site de l'entreprise : <http://www.mascir.ma>.

-
- 2. Chip Scaled Packaging
 - 3. Surface Mount Technology
 - 4. Scanning Acoustic Microscope

1.3 Description et déroulement du stage

1.3.1 Activités exercées

Durant ce stage de fin d'études, j'ai eu l'opportunité de côtoyer le monde industriel et plus précisément de la microélectronique ce qui m'a permis d'assister et participer à plusieurs missions et projets que ce soit au sein de MAScIR ou à l'extérieur.

Mis à part le travail sur mon projet, j'ai pu suivre le processus du packaging allant du découpage wafer au marquage boîtier et sciage.

Parallèlement, J'ai assisté à des manœuvres de vérification de qualité des produits livrés à MAScIR.

Par ailleurs, j'ai pu bénéficier d'un encadrement étroit en préparant des réunions pour garantir un bon état d'avancement du projet.

1.3.2 Répartition des tâches

1^{ÈRE} ET 2^{ÈME} SEMAINES :

- Visite du local et réunions pour cerner le projet.
- Bibliographie sur les system RFID.

3^{ÈME} ET 4^{ÈME} SEMAINES :

- Étude du marcher et choix des tags et lecteur rfid.
- Participer à la résolution des problèmes du lecteur existant.

5^{ÈME} ET 6^{ÈME} SEMAINE :

- Étude et familiarisation avec le langage .NET C#
- Réalisation d'un prototype de test de lecture de tags.

7^{ÈME} ET 8^{ÈME} SEMAINE :

- Proposition d'algorithme d'amélioration des performance de la communication client-lecteur
- Implémentation finale du prototype du nouveau protocole de communication client lecteur.

9^{ÈME} SEMAINE :

- Développement d'une interface utilisateur pour le contrôle du flux des données et gestion de stockage.
- Étude du marché marocain de l'agriculture et Étude de besoin .

10^{ÈME} ET 11^{ÈME} SEMAINE :

- Développement de la Version une de l'application SmartFlah.
- Amélioration de la version une de l'application SmartFlah

12^{ÈME} ET 13^{ÈME} SEMAINE :

- Étude Profonds sur les Tag RFID UHF.
- Réalisation du 1er prototype d'antenne UHF RFID

14^{ÈME} ET 15^{ÈME} SEMAINE :

- Étude des méthode d'optimisation du taille performance d'antenne.
- simulation sur CST studio du 2ème prototype d'antenne

16^{ÈME} ET 17^{ÈME} SEMAINE :

- simulation sur CST studio du 3ème prototype d'antenne
- Rédaction du rapport

Chapitre 2

Contexte Général du projet

Le but de ce chapitre est de présenter la problématique du projet, le cahier des charges, la démarche suivie pour répondre au besoin de l'ensemble des parties prenantes du projet et le plan d'action.

2.1 Cahier des charges

2.1.1 Objectif

L'objectif de ce projet est l'étude et la réalisation d'une solution RFID UHF qui assure l'identification et la traçabilité des entrées et sorties des palettes. Choisir les tags adaptés aux besoins en respectant les conditions d'utilisation et type de lecteur et de développer un logiciel de gestion des palettes. Et comme deuxième axe, la réalisation d'un transpondeur RFID UHF et une application Android pour gestion du secteur d'agriculture qui permet à l'utilisateur de profiter des fonctions offert par le système à distance.

2.1.2 Cahier des charges

Assurer l'identification et la traçabilité des entrées / sorties palettes

- Choix des puces/tags adaptés aux besoins (conditions d'utilisation et type de lecteur).
- Établir un programme de gestion des palettes en assurant la traçabilité de leur mouvement.
- Réalisation et test d'un prototype.

2.1.3 Mise au point de la problématique

Ce projet consiste à développer un système de traçabilité des entrées et sorties des palettes. Trouver les causes racines, choisir les solutions optimales pour un problème ou une situation nécessite une grande compréhension du problème. Dans ce sens, la méthode QQOQCCP¹ permet d'avoir des informations élémentaires suffisantes sur toutes les dimensions du problème, pour identifier ses aspects essentiels.

1. Qui ? Quoi ? Où ? Quand ? Comment ? Combien ? Pourquoi ?

| | |
|----------|---|
| Quoi | Activité : Développement d'un système de traçabilité Produit : logiciel , Application Android, Tag UHF |
| Qui | Division : Client MAcIR |
| Où | MACIR |
| Quand | Du 15/02/2016 au 15/06/2015 |
| Comment | État d'art sur les techniques RFID existantes afin de développer une autre plus adaptée. |
| Combien | 46 millions de centimes |
| Pourquoi | Fournir un système de traçabilité des entrées et sorties des palettes. |

TABLE 2.1: QQOQCCP

2.2 Déroulement chronologique du stage

Durant les 4 mois de mon stage, les tâches relatives à mon projet de stage sont organisées de la façon suivante :

2.2.1 Étapes de réalisation

| Tâche | Date de début | Date de fin | Durée |
|---|---------------|-------------|----------|
| Visites et réunions | 16/02/16 | 18/02/16 | 3 jours |
| Bibliographie RFID | 15/02/16 | 26/02/16 | 10 jours |
| Étude du marché et choix des tags et lecteur RFID | 29/02/16 | 04/03/16 | 5 jours |
| Participer à la résolution des problèmes du lecteur existant. | 07/03/16 | 11/03/16 | 5 jours |
| Étude et familiarisation avec le langage .NET C# | 14/03/16 | 18/03/15 | 5 jours |
| Réalisation d'un prototype de test de lecture des tags | 14/03/15 | 25/03/15 | 10 jours |
| Étude et proposition d'algorithme pour l'amélioration des performances de la communication client-lecteur | 28/03/16 | 30/03/16 | 3 jours |
| Implémentation finale du prototype du nouveau protocole de communication client lecteur. | 30/03/16 | 10/04/16 | 11 jours |
| Développement d'une interface utilisateur pour le contrôle du flux des données et gestion de stockage. | 11/04/16 | 19/04/16 | 7 jours |
| Étude du marché marocain de l'agriculture et Étude du besoin | 20/04/16 | 22/04/16 | 3 jours |

| | | | |
|---|----------|----------|----------|
| Développement de la Version de l'application SmartFlah. | 20/04/16 | 25/04/16 | 5 jours |
| Étude Approfondie sur les Tags RFID UHF | 25/04/16 | 28/04/16 | 4 jours |
| Prestation de MAsIR à SIAM | 29/04/16 | 29/04/16 | 1 jours |
| Amélioration de la version une de l'application SmartFlah | 02/05/16 | 04/05/15 | 3 jours |
| Réalisation du 1 er prototype d'antenne UHF RFID | 05/05/16 | 13/05/16 | 7 jours |
| Étude des méthodes d'optimisation du taille et performance d'antenne. | 16/05/16 | 20/05/16 | 2 jours |
| simulation sur CST du 2 ème et 3 ème prototype d'antenne | 23/06/16 | 10/06/16 | 15 jours |
| Rédaction du rapport | 11/06/16 | 15/06/16 | 4 jours |

TABLE 2.2: Répartition des tâches

2.2.2 Diagrammes de Gantt

Cette section est pour représenter visuellement l'état d'avancement des différentes activités et tâches qui constituent mon projet. Chaque tâche est matérialisée par une barre horizontale, dont la position et la longueur représentent la date de début, la durée et la date de fin.

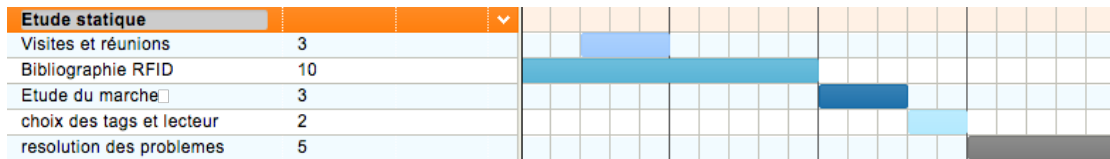


FIGURE 2.1 – Bibliographie et résolution des problèmes

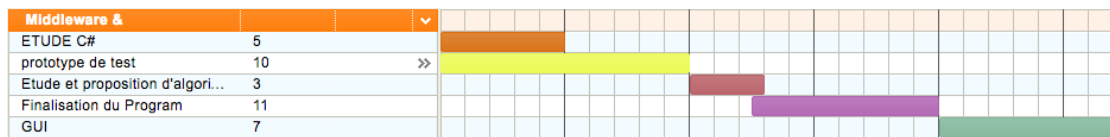


FIGURE 2.2 – Middleware et Interface graphique



FIGURE 2.3 – Développement de l'application Samrt

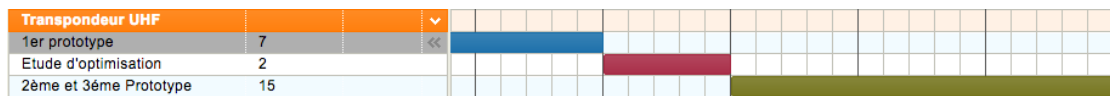


FIGURE 2.4 – Conception du transporteur

2.3 Décomposition du projet

Le projet est décomposé principalement en 3 parties :

- Développement du Middleware et de l’interface graphique : une partie qui consiste à assurer la communication entre le client et le lecteur RFID.
 - Développement de l’application SmartFlah pour la gestion des tags animal.
 - Le transpondeur : la conception d’un transpondeur UHF RFID de petite taille.

Chaque partie sera étudiée indépendamment dans les chapitres qui suivent.

Chapitre 3

Étude détaillée du Projet

RFID ou identification par fréquence radio, est une technologie en croissance rapide qui a le potentiel de faire de grands impacts économiques sur plusieurs industries. Bien que la RFID est une technologie relativement ancienne, les progrès les plus récents dans la technologie de fabrication de puces RFID font pratique pour de nouvelles applications et paramètres.

Ce chapitre est dédié à l'étude détaillée de la solution RFID.

3.1 Description de la solution

Cette section présente les bases des systèmes RFID et offre la taxonomie des différents types de systèmes RFID. Nous discuterons brièvement deux normes RFID majeures et comment elles se rapportent à la pratique.

3.1.1 Le système de base RFID

La discussion de la technologie RFID a tendance à se concentrer uniquement sur les étiquettes. Il est plus exact de voir RFID comme un système complet qui comprend non seulement des étiquettes, mais aussi d'autres éléments importants. Les systèmes RFID sont constitués d'au moins trois composants principaux :

- Les étiquettes RFID ou transpondeurs, qui transportent des données d'objet d'identification.
- Lecteurs RFID, ou des émetteurs-récepteurs, lire et écrire des données dans l'étiquette.
- Bases de données associées pour l'enregistrement de la donnée d'identification

Nous illustrons l'interaction de ces composants dans la figure 3.1. Sur cette figure, trois étiquettes sont lisibles par un ou les deux lecteurs, A et B. Par exemple, l'étiquette 1 est lisible que par A, tandis que l'étiquette 2 est lisible par A et B, peut-être en raison de restrictions d'accès. Les lecteurs peuvent alors se connecter à des bases de données avec des enregistrements associés à des données d'identification. Dans ce cas, deux bases de données ont chacun leur propre record.

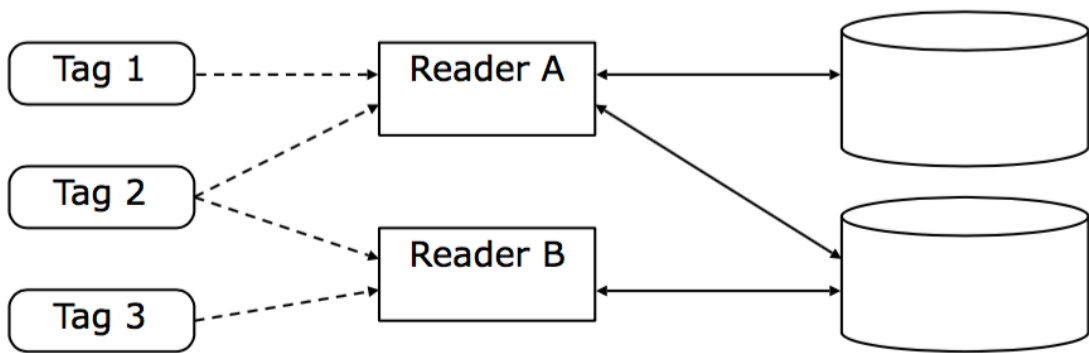


FIGURE 3.1 – Illustration du système RFID

3.1.2 Les composants essentiels d'un système RFID

Les tags

Les tags sont attachés à tous les objets à identifier dans un système RFID. Un tag est généralement composé d'une antenne ou un élément de couplage, et un circuit intégré. Une importante distinction qui sera discutée plus tard est la source d'alimentation d'un tag. Souvent, les étiquettes ne portent pas une source d'alimentation et doivent passivement récolter toute l'énergie d'un signal RF¹.

Il existe plusieurs types de tags qui offrent des différentes fonctionnalités, ont des puissances différentes de sources ou fonctionnent à des fréquences radio différentes. Chacune de ces variables permet de déterminer quelle application une étiquette particulière peut être appropriée. Ces différences seront examinées plus loin dans ce chapitre.

Les étiquettes modernes ont tendance à mettre en œuvre la fonctionnalité d'identification sur un circuit intégré (IC)² qui assure le calcul et le stockage. Dans le procédé de fabrication, ce circuit intégré est fixé ou "Attaché" à une antenne avant d'être emballée dans un facteur de forme, comme une capsule de verre ou d'une feuille, qui est intégré dans un produit final. Dans la pratique, les différents fournisseurs effectuent souvent chacune de ces étapes de fabrication. Autres RFID dessins peuvent être «chipless» ou avoir des informations d'identification au moment de la fabrication, à savoir "Écriture une fois, lecture nombreuse".

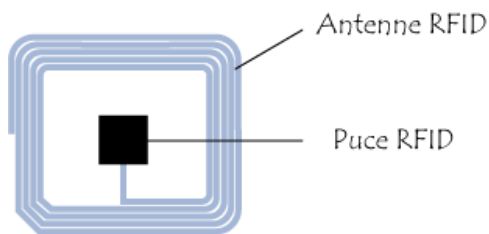


FIGURE 3.2 – Tag RFID

-
1. Radio Frequency
 2. Integrated Circuit

Reader/Lecteur

Les lecteurs RFID communiquent avec des tags à travers un canal RF pour obtenir l'identification . Selon le type de l'étiquette, cette communication peut être un simple ping ou un protocole plus complexe de caractère multi-tour. Dans les environnements avec de nombreux points, un lecteur peut effectuer un algorithme d'anti-collision pour veiller à ce que les conflits ne se produisent pas. Les protocoles anti-collision permettent aux lecteurs de communiquer rapidement avec beaucoup de tags en série.

Les lecteurs alimentent souvent ce que l'on appelle les étiquettes passives à travers leur canal de communication RF. Ces types d'étiquettes ne portent aucune puissance à bord et comptent uniquement sur un lecteur pour fonctionner. Étant donné que ces tags sont si limités qu'ils comptent sur un lecteur pour effectuer des calculs. Les lecteurs se présentent sous plusieurs formes, fonctionnent sur de nombreuses fréquences différentes, et peuvent offrir un large éventail de fonctionnalités. Les lecteurs peuvent avoir leur propre puissance de traitement et de stockage interne, et peuvent offrir une connectivité réseau. Les lecteurs pourraient être une simple conduit à un système externe, ou pourraient stocker toutes les données pertinentes au niveau local.

À l'heure actuelle, de nombreuses applications reposent sur des dispositifs de lecture fixe. Les premiers essais de EPC³ à une grande chaîne de supermarchés intégrés dans les lecteurs entrées accueillent baies fixes. Ces lecteurs scannent les étiquettes au niveau de la palette lors de la livraisons des produits.

Les lecteurs RFID peuvent également être intégrés dans des appareils mobiles portatifs. Ces lecteurs mobiles permettraient à quelqu'un, par exemple, de faire l'inventaire d'un entrepôt en marchant à travers ses allées. Le fabricant de téléphone cellulaire Nokia propose déjà des fonctionnalités RFID de lecture dans certains de leurs téléphones cellulaires. les balises de type EPC deviennent très réussie, intéressante et les applications grand public utiles pourraient se poser. Si cela se produit, la fonctionnalité de lecture RFID pourrait devenir une caractéristique commune sur les téléphones, PDA⁴, ou d'autres dispositifs informatiques portables cellulaires.

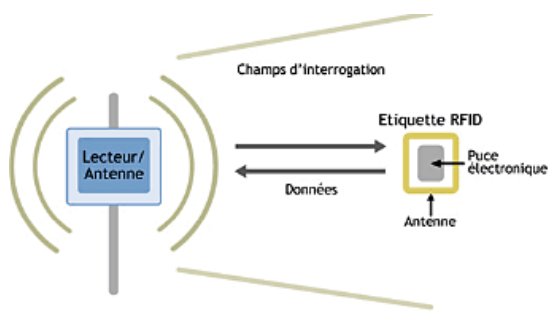


FIGURE 3.3 – Interaction du Lecteur RFID avec son environnement

La base de données

Les bases de données RFID associent l'identifiant de tag avec un enregistrement qui peuvent contenir des informations sur les produits, les journaux de suivi, les données de ventes, ou les dates d'expiration. Des bases de données indépendantes peuvent être

3. Energy Performance Certificate
4. Personal Digital Assistant

construites tout au long de la chaîne d'approvisionnement par des utilisateurs indépendants, ou peuvent être intégrés dans un système de base de données centralisé ou fédéré.

Les bases de données supposent avoir une connexion sécurisée aux lecteurs. Bien qu'il existe des scénarios où les lecteurs peuvent ne pas être dignes de confiance, il est souvent utile de faire écouler les notions de lecteur et la base de données en une seule entité. Par exemple, si les étiquettes contiennent toutes les informations du produits en cause, il n'y a pas besoin de faire un appel à une base de données hors site.

On peut imaginer un système fédéré de bases de données back-end, où chaque fabricant de produit conserve son propre service de consultation produit. Dans ces paramètres, il peut être utile de déployer un (ONS)⁵ pour localiser les bases de données associées à une valeur d'identification d'étiquette. Un ONS permet au lecteur de trouver un ensemble de bases de données associées à une valeur d'identification d'étiquette particulière. Ceci est analogue à l'Internet avec le (DNS)⁶ qui renvoie les adresses des serveurs de noms qui peuvent traduire les noms de domaine en adresses IP⁷ numériques. ONS n'a pas encore été largement adopté dans la pratique.

3.1.3 Source d'énergie d'un Tag

Comme brièvement mentionné précédemment, les étiquettes peuvent obtenir leur pouvoir de plusieurs manières différentes. La source d'énergie est une propriété essentielle d'une étiquette, car il va déterminer la distance de lecture potentielle d'une balise, la durée de vie, le coût, et quel genre de fonctionnalités qu'elle peut offrir. La source d'énergie sera également importante pour déterminer comment une étiquette peut être orienté et quelles formes physiques qu'elle peut prendre. Il existe trois catégories principales de sources d'énergie de tag : actives, semi-passives, et passives.

Les étiquettes actives ont leur propre source d'énergie, telle qu'une batterie, et peuvent initier une communication à un lecteur ou d'autres balises actives. Parce qu'elles contiennent leur propre source d'alimentation, les étiquettes actives ont généralement une plage de fonctionnement beaucoup plus large que passifs-tags. Une caractéristique clé de balises actives est qu'elles sont en mesure de lancer leur propre communication avec les lecteurs. Les balises actives avancées, pourraient même former des réseaux ad hoc les unes avec les autres. Une application utile et les balises actives dans des conteneurs d'expédition , qui peuvent tomber hors navires sur les mers agitées. Ces conteneurs manquants parfois ne sont pas reconnus jusqu'à ce que le navire à quai . Une étiquette à puce avec un capteur accéléromètre pouvait détecter quand il est tombé et distribuer un journal de sa disparition avant de sombrer dans l'océan.

Par contre, un semi-passif (ou semi-actif) tag a une batterie interne, mais n'est pas en mesure d'initier des communications. Cela garantit que les étiquettes semi-passives ne sont actives que lorsqu'elles sont interrogées par un lecteur. Parce que ces dernières ont une source d'énergie interne, elles offrent une lecture plus large que les passives, mais à un coût plus élevé.

5. service Object Naming

6. Domain Naming Service

7. Internet Protocol

Un exemple d'application qui utilise souvent des étiquettes semi-passives est *tollbooths* électroniques. les étiquettes passives sont généralement collées à l'intérieur du pare-brise d'une voiture. Lorsque la voiture passe par un péage, il lancera une requête à l'étiquette et lira le compte identifiant de l'étiquette. La batterie de bord permet à la balise d'être lue à une distance considérable. Cependant, étant donné que l'étiquette ne doit diffuser lorsqu'elle est interrogée, elle peut rester inactive la plupart du temps et économiser de l'énergie. Les étiquettes semi-passives sont également souvent utilisées dans les palettes au niveau de suivi ou de suivi des composants tels que des pièces d'automobile lors de la fabrication.

Les étiquettes passives ont ni leur propre source d'énergie, ni la capacité d'initier la communication. Les étiquettes passives obtiennent de l'énergie par la récolte à partir d'un signal de communication RF entrant. À des fréquences plus basses, cette énergie est typiquement récoltée par induction, tandis qu'à des fréquences plus élevées, elle est récoltée par capacité.

Bien que les étiquettes passives ont la plus courte distance de lecture de tous les trois types , elles sont les moins chères à fabriquer et plus facile à intégrer dans les produits. Les batteries sont relativement coûteuses et ne peuvent pas facilement être incorporées dans certains articles, comme les emballages sont en papier. Pour cette raison, les étiquettes passives sont les balises les plus courantes.

En l'absence d'une source d'énergie interne dicte de nombreuses propriétés des étiquettes passives. D'abord, elles ne peuvent pas fonctionner sans la présence d'un lecteur, bien que l'étiquette passive pourrait temporairement cacher un peu d'énergie dans un condensateur. En raison de leur faible nécessairement signal de réponse, les étiquettes passives sont souvent plus sensibles au bruit ambiant ou des interférences. Le tableau 1 compare diverses propriétés des étiquettes passives, semi-passives et actives.

| Type | Passif | Semi-Passif | Actif |
|----------------------|-------------------------|-------------------|---------------------------|
| Source d'énergie | énergie récoltée du RF | Batterie | Batterie |
| Communication | Réponse seulement | Réponse seulement | Répondre ou initier |
| Max Range | 10 M | 100 M | 100 M |
| Coût relatif | Le moins cher | Plus cher | Très cher |
| Exemple Applications | EPC cartes de proximité | télé péage | <i>Livestock tracking</i> |

TABLE 3.1: Comparaison de tag passif , semi- passif et actif

3.1.4 Fréquences de fonctionnement

Les systèmes RFID ont une variété de fréquences radio. Chaque bande de fréquence offre son propre avantage d'exploitation, les exigences de puissance et de performance. Différentes gammes peuvent être soumises à des règlements ou des restrictions qui limitent ce que les applications peuvent être utilisés pour. Les métaux et les liquides présentent généralement le plus gros problème dans la pratique. En particulier, les balises

actives dans l'ultra-haute fréquence (UHF) ne fonctionnent pas correctement à proximité des liquides ou des métaux.

La fréquence de fonctionnement est également importante dans la détermination des dimensions physiques d'une étiquette RFID. Différentes tailles et formes des antennes fonctionnent à des fréquences différentes. La fréquence de fonctionnement détermine également la possibilité d'interagir physiquement avec les autres. Par exemple, l'empilage des étiquettes plates feuille d'incrustation sur le dessus de l'autre peut interférer ou empêcher les balises de la lecture correctement. Le tableau 2 énumère les fréquences standard et leurs distances de lecture passives respectives.

| Gamme de fréquences | fréquences | Distance de lecture |
|-----------------------------|-----------------|---------------------|
| Basse fréquence | 120-140 KHz | 10-20 cm |
| Haute Fréquence (HF) | 13,56 MHz | 10-20 cm |
| Ultra-haute fréquence (UHF) | 868-928 MHz | 3 mètres |
| Micro onde | 2,45 et 5,8 GHz | 3 mètres |
| Ultra-Wideband (UWB) | 3,1-10,6 GHz | 10 m |

TABLE 3.2: fréquences de fonctionnement RFID

Basse fréquence (LF)

Basse fréquence (LF) étiquettes RFID fonctionne généralement dans la gamme 120-140 kilohertz. Plus souvent, les balises LF sont passivement alimentés par induction. En conséquence, elles ont généralement de très courts intervalles de lecture 10-20 centimètres.

Les balises LF peuvent être utilisées dans des environnements difficiles et peuvent fonctionner à proximité de métal, des liquides, ou de la saleté. Cela les rend utiles pour des applications comme les étiquettes d'identification pour animaux de compagnie implantables ou des étiquettes de gestion de blanchisserie. Un inconvénient de balises LF est son faible taux de lecture de données par rapport à d'autres fréquences de fonctionnement.

LF balises sont souvent utilisées dans les systèmes d'immobilisation de voiture et de contrôle d'accès. Dans ces systèmes, une voiture ne démarre que si une balise de LF, généralement attaché à la clé de contact, est à proximité de l'allumage. Cela prend avantage de courte portée de lecture de LF et l'utilise comme un élément de sécurité.

En 2016, LF étiquettes passives peuvent être achetées en vrac à 10 DH par tag ou moins. Deux grands fabricants de balises LF sont Texas Instruments et Phillips Semiconductor. La norme *ISO 18000-2 standard* offre des spécifications pour les étiquettes RFID LF.

Haute fréquence

Haute fréquence (HF) étiquettes RFID fonctionnent à la fréquence de 13,56 MHz. Les étiquettes HF sont souvent emballées dans un facteur d'incrustation de feuille ou sous

forme de carte de crédit. Cela rend les balises HF utiles pour la construction de contrôle d'accès, les cartes de crédit sans contact, et des badges d'identification. Encore une fois.

Les étiquettes HF sont également utilisées dans de nombreuses applications de suivi. Les bibliothèques et les librairies utilisent souvent HF incrustations de feuilles pour suivre les livres. Certains aéroports ont commencé à utiliser HF RFID étiquettes à bagages pour les applications de manutention de bagages.

les étiquettes HF offrent un taux de lecture de données plus élevé que les balises LF, mais ne réussissent pas aussi bien que les balises de LF à proximité de métaux ou de liquides. cependant, elles offrent de meilleures performances à proximité de métaux ou de liquides que les tags UHF font.

La gamme de fréquences HF se trouve sur une partie fortement réglementée du spectre radio. Les signaux transmis par les lecteurs doivent fonctionner dans une bande de fréquences étroite. Cela pose un problème pour les environnements électroniques sensibles, tels que les équipements médicaux, qui fonctionnent sur des fréquences voisines. Cela rend les balises HF inappropriée pour les environnements comme les hôpitaux.

En 2016, les étiquettes HF passives peuvent être achetées à 5DH ou moins par étiquette en quantité. Texas Instruments et Phillips offrent deux lignes tag HF, bien qu'il existe de nombreux fabricants plus petits et spécialisés ou intégrateurs dans l'espace de HF. L'Organisation internationale de normalisation (ISO) spécifications pour les étiquettes RFID HF sont spécifiées par la norme *ISO 18000-3 norme* [11]. spécifications connexes HF sans contact des cartes à puce et les cartes de proximité apparaissent dans les normes ISO 14443 [9] et 15693.

Ultra-haute fréquence

Ultra-haute fréquence (UHF) étiquettes RFID fonctionnent dans la gamme de 868 à 928 mégahertz. les balises européennes fonctionnent généralement dans la gamme 868-870 MHz, tandis que les États-Unis et au Canada fonctionnent à 902-928 MHz. Les tags UHF sont les plus couramment utilisés pour les applications de suivi et de gestion de la chaîne logistique article. Ceci est en grande partie parce qu'ils offrent une gamme plus lue et sont moins chers à fabriquer en vrac que LF ou HF tags. Les étiquettes EPC de première génération fonctionnent à des fréquences UHF.

Un inconvénient majeur de tags UHF est qu'ils éprouvent des interférences à proximité de liquides ou de métaux. De nombreuses applications telles que le suivi des animaux, suivi des conteneurs en métal, ou même de nombreux systèmes de contrôle d'accès sont irréalisables avec des étiquettes UHF. Certains matériaux ont été développés qui peuvent protéger les tags UHF de distorsion lié au métal, mais ceux-ci peuvent être coûts prohibitifs à utiliser dans la pratique. Les lecteurs UHF peuvent également interférer avec l'électronique sensible comme l'équipement médical.

Les tags UHF sont une technologie relativement récente que LF ou HF, et les coûts de lecteur sont généralement plus élevés que les lecteurs de LF faible largeur de bande. En 2016, les tags UHF peuvent être achetés en quantités pour moins de 1DH par étiquette passive. étiquettes UHF coûts aussi bas 0.5DH sont susceptibles d'arriver sur le marché

dans les prochaines années. Spécifications pour les étiquettes RFID fonctionnant à des fréquences UHF sont définies à la fois par l'ISO 18000-6 et à la norme EPCGlobal .

Micro-ondes

étiquettes de micro-ondes fonctionnent soit à 2,45 ou 5,8 GHz. Cette gamme de fréquences est parfois appelée fréquences de super-haute (SHF). La technologie RFID de micro-ondes est mise en usage assez récemment et se développe rapidement. Les étiquettes à micro-ondes utilisées dans la pratique sont généralement semi-passives ou actives, mais peuvent aussi se présenter sous forme passive. Les balises à micro-ondes semi-passives sont souvent utilisées dans l'identification de la flotte et des applications de télé-péage.

Les systèmes à micro-ondes offrent plus les taux de lecture que UHF et gammes équivalentes de lecture passive. Les plages de lecture semi-passives et actives des systèmes de micro-ondes sont souvent plus grandes que leurs homologues UHF. Certains balises micro-ondes actives peuvent être lues à partir des distances allant jusqu'à 30 mètres, ce qui est moins comparer aux tags UHF . Cependant, les implémentations physiques des micro-ondes étiquettes RFID peuvent être beaucoup plus petite et compacte que basse fréquence des étiquettes RFID.

Il y a plusieurs inconvénients en ce qui concerne les balises à micro-ondes. La première est qu'elles consomment relativement plus d'énergie que leurs homologues de fréquence inférieure. les étiquettes de micro-ondes sont généralement plus chères que les tags UHF. Commercialement les balises actives disponibles coûtent autant que 250 DH par tag en 2016. Un autre problème est que le sans fil 802.11b / g réseaux (WiFi) peuvent interférer avec les systèmes micro-ondes RFID. Ainsi les Dispositifs d'application de la ZigBee 802.15 prochaine norme sans fil pourraient potentiellement entrer en conflit avec des dispositifs micro-ondes RFID. L'ISO 18000-4 et ISO 18000-5 rejeté [11] Les normes offrent des spécifications respectives pour 2,45 et 5,8 gigahertz étiquettes RFID.

Ultra-Wideband

Ultra-wideband (UWB) appliquée à la RFID est assez récent. Plutôt que d'envoyer un signal fort sur une fréquence particulière, UWB utilise des signaux de faible puissance sur une très large gamme de fréquences. Le signal sur une fréquence particulière utilisée par UWB est très faible, mais dans l'ensemble, la communication est assez robuste. Dans la pratique, certaines implantations de UWB fonctionnent de 3,1 à 10,6 GHz.

Les avantages de l'UWB sont qu'il a une très longue portée en ligne de mire de lecture, peut atteindre 200 mètres dans certains contextes. UWB est également compatible avec le métal ou les liquides. Comme le signal sur une fréquence particulière est très faible, UWB n'interférer pas avec les équipements sensibles. Par conséquent, une application anticipée était suivi des actifs dans un milieu hospitalier.

Un inconvénient d'implémentations actuelles de UWB est qu'il doit être actif ou au moins semi-passif. Cependant, étant donné que les balises UWB diffusent des signaux très faibles, ils sont relativement de faible consommation d'énergie. En 2006, il est difficile de savoir si la technologie existe pour créer un UWB tag passif. La technologie RFID

UWB est encore dans ses premières phases et il y a peu de produits disponibles dans le commerce. Les coûts de 50DH par tag en vrac sont raisonnables dans l'avenir proche .

3.1.5 Fonctionnalité

La fonctionnalité RFID de base est l'identification. Lorsqu'il a été interrogé par un lecteur, les balises retournent un autre identificateur qui peut être utilisé pour récupérer d'autres enregistrements de données. Cependant, les étiquettes peuvent offrir d'autres fonctionnalités utiles dans différentes applications. Les principes et les technologies de ces différents types de balises sous-jacentes sont si étroitement liés aux étiquettes RFID strictes, qu'ils ont souvent collectivement appelés «RFID». Bien que pas strictement RFID, nous discutons de plusieurs classes majeures d'appareils liés à la RFID.

Nous avons partagé des étiquettes RFID de style en cinq grandes catégories : EAS, en lecture seule EPC, EPC, étiquettes de capteurs, et motes. Ceux-ci seront appelés classes A à E. EPCglobal propose cinq classes similaires de tag basé sur la fonctionnalité baptisée classe 0 à la classe 4 [6]. Les classes EPCglobal aligner étroitement avec les nôtres, mais diffèrent quelque peu. Ces cinq classes sont résumés dans le tableau 3.

| Classe | Nom | Mémoire | Source d'énergie | Caractéristiques |
|--------|-------------------|-------------------|------------------|---------------------------|
| A | EAS | Aucun | Passif | article surveillance |
| B | Lecture seule EPC | Lecture seulement | Passif | identification seulement |
| C | EPC | Lire et écrire | Passif | Enregistrement de données |
| D | capteur Balises | Lire écrire | Semi-passif | capteurs environnementaux |
| E | motes | Lire écrire | actif | Réseautage ad hoc |

TABLE 3.3: Classes de fonctionnalité des Tags

3.1.6 Normes

Les deux normes RFID les plus pertinents sont l'Organisation internationale de la norme ISO / IEC 18000 de normalisation norme [11] et les normes de EPCglobal [6]. Ces normes ne sont pas en concurrence, et il est conceivable que la norme EPCglobal pourrait éventuellement être adopté dans une norme ISO. EPCglobal définit des spécifications pour les étiquettes de type EPC fonctionnant dans la gamme UHF. La norme ISO 18000 a 6 parties d'adressage différentes gammes de fréquences :

- Partie 1 - Généralités normes
- Partie 2 - LF
- Partie 3 - HF
- Partie 4 - Micro-ondes, 2,45 GHz
- Partie 5 - Micro-ondes, 5,8 GHz
- Partie 6 - UHF

3.1.7 Modes de transfert d'énergie et de communication

Dans ce premier cas (figure 3.4) , l'onde RF se propageant de la base station vers le tag n'a pour but unique que de fournir de l'énergie au tag de façon à charger la capacité d'alimentation présente à son bord afin que celle-ci puisse être capable d'alimenter l'ensemble du tag pour assurer son bon fonctionnement. Après cette phase d'alimentation, le tag est apte à recevoir des ordres de commande provenant de la base station et de retourner des informations vers celle-ci. Puis le cycle recommence et il est à nouveau nécessaire de lui fournir de l'énergie pour continuer la communication et ainsi de suite. Bien évidemment, ceci prend du temps et manque parfois de souplesse.



FIGURE 3.4 – Mode de transfert d'énergie non simultané

Dans ce deuxième cas (figure 3.5), au travers des principes et types de modulation utilisés, l'onde provenant de la base station est capable pendant la phase de l'échange base station vers tag d'assurer simultanément la fourniture de l'énergie et l'échange des informations (données).

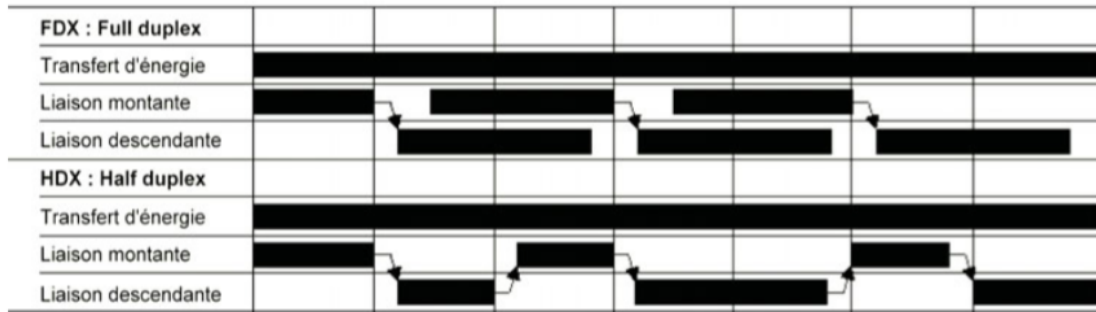


FIGURE 3.5 – Mode de transfert d'énergie simultané

Note :

À noter que la très grande majorité des tags du commerce fonctionnent selon ce dernier principe.

3.1.8 Liaison montante et liaison descendante

Intéressons-nous d'abord aux échanges ayant lieu entre bases stations et tags. Ils sont de deux sortes et seront définis une fois pour toutes dans cet ouvrage de la manière suivante :

- de la base station vers le tag, dits liaison montante ;
- du tag vers la base station, dits liaison descendante.

De plus afin d'éviter quelques problèmes de compréhension, quelle que soit l'intelligence embarquée dans le tag, nous supposerons que celui-ci ne fonctionne que sous des ordres commandes provenant de la base station.

Liaison montante (forward link) de la base station vers le tag

La liaison montante (de la base station vers le tag) a pour mission :

- d'assurer, si cela est possible, le transport de l'énergie vers le tag afin que celui-ci puisse assurer la tâche qui lui incombe ;
- de servir de support à l'envoi de données de la base station vers le tag ;
- d'assurer, si cela est possible, le transport de l'énergie vers le tag afin que celui-ci puisse assurer
- dans le cas des systèmes fonctionnant en mode passif (voir définition un peu plus loin), lors de la phase de communication en liaison descendante, d'assurer la présence d'un support physique à la communication du tag vers la base station.

La communication montante est par principe assurée par un dispositif – la base station – qui émet une onde radiofréquence. Celle-ci est donc dotée d'un émetteur, un TRANSMITTER. De par la présence de cet émetteur, la liaison montante est dite active. De plus, la base station comporte également à son bord un récepteur, un RECEIVER. La base station est donc un TRANSCEIVER. Dans le sens montant, la base station doit se faire comprendre par le tag au travers d'un codage numérique (binaire), d'un protocole de communication et d'un système de modulation de la fréquence porteuse ne devant pas ou peu affecter (le plus faiblement possible) la qualité d'une hypothétique téléalimentation simultanée. Pour cela on peut employer des techniques de modulation de fréquence FSK⁸, ou encore de nombreuses méthodes de modulation d'amplitude ASK⁹

Liaison descendante de la modulation

Contrairement à ce qu'on pourrait initialement penser, le transpondeur ne peut pas se comporter comme un émetteur de signaux RF. En effet, il ne dispose pas, dans son interface RF, des mécanismes permettant d'émettre un signal radio-fréquence vers la station de base. Les transpondeurs utilisent ce qu'on appelle la réflexion d'ondes pour se faire comprendre des lecteurs.

Pour cela, les tags utilisent une modulation différente que l'on nomme modulation de charge (Load Modulation) qui consiste à faire varier la charge résistive du circuit. Effectivement, en faisant varier la charge, le tag fait varier l'intensité du courant dans son circuit et donc l'intensité qui circule dans l'antenne. La consommation d'énergie qu'il représente dans le champ magnétique s'en trouve alors également modifiée et, par couplage magnétique, cela influe sur l'intensité du courant dans l'antenne de la station de base. De proche en proche, les signaux RF reçus de la station de base, qui sont réfléchis par le transpondeur, permettent donc de transporter des réponses en faisant varier l'intensité du circuit du lecteur.

Il s'agit ici d'un procédé assez complexe mais qui repose à la base sur de la modulation. Cette modulation de charge résistive à l'origine de la transmission de la réponse

8. Frequency-Shift Keying

9. Amplitude-Shift Keying

s'appuie sur une modulation courante appelée OOK¹⁰ et correspond à la modulation d'amplitude "tout ou rien". A l'aide d'une modulation de type OOK, comme présentée précédemment, on crée une modulation de charge qui fait varier la charge résistive du circuit et donc la tension aux bornes du circuit RF du transpondeur comme montré dans la figure 3.5.

10. On Off Keying

Chapitre 4

Les solution propose et étude théorique

Dans ce chapitre de vais présenter les trois projet de réalisation qu'on a put faire tout au long de ce stage. le premier consiste sur a faire un protocole de communication entre le serveur et le client,aussi développer un serveur de communication et mise en œuvre de la base de données. le deuxième projet est sur la plateforme androïde,le projet consiste a développer une application androïde pour la les tag LF. L'application soit faire a gestion des identifiant. le troisième consiste a concevoir une antenne UHF pour la solution RFID.

4.1 Client et interface RFID

L'application desktop est un logiciel pour la gestion des entrée et sortie des palettes du stock. elle exécute au sein de lui le protocole de communication qui a sont tours communique avec le lecteur et le commande afin de bien gérer sont interface air. les détails de ce protocole sont décrite dans la section suivante. L'interface utilisateur permet une visualisation des données organise et bien claire a l'utilisateur elle permet aussi la gestion du serveur de base de donnée et les méthode de sécurité de cette communication aussi les ajout des dépendances comme l'état de tag (in ou out), elle permet aussi une d'ajouter la date la place ou le tag a était lu.

Dans la figure suivante je présente l'architecture globale d'un system RFID. Notre interface ce positionne entre le lecteur et la base de données. cette interface permet l'acquisition des données du lecteur et les présenter dans une forme logique au utilisateur.



FIGURE 4.1 – Rappel du system RFID

4.1.1 Étude du marché

Le besoin d'une telle solution est crucial aujourd'hui dans les entreprises. La majorité des entreprises de nos jours et plus précisément les entreprises qui leur produit initial est un produit consommateur, livre de la marchandise dans palette ou des centaines afin de garder la qualité de leur produit et aussi aider à la logistique. Ces palettes sont après redi au fournisseur et dans des cas non et donc il sont perdus, d'où la nécessité à une solution optimale et automatique afin de garantir une traçabilité de ces palettes.

Notre solution propose une méthode simple et efficace afin de garantir une traçabilité claire et adaptée. Dans la suite de cette section je vais décrire le rôle de l'interface entre les lecteurs RFID et les clients.

4.1.2 *Middleware / et Protocole de communication*

Le *Middleware* est un protocole de couche quatre c'est un moyen d'échange logique entre le lecteur et le client. Il gère l'interface physique du périphérique où il est exécuté. Il contrôle l'initiation de la communication au serveur et la rupture de cette dernière. Dans la suite de cette section je vais décrire le rôle du protocole entre le lecteur RFID et le client. Dans ce qui suit sont les responsabilités de cette interface :

- Fournir des moyens pour commander un lecteur RFID (lire les codes EPC sur les étiquettes), lire les étiquettes (lire d'autres données sur les étiquettes en dehors du code EPC), écrire dans les tags, et exécuter d'autres commandes d'accès protocole dépendant.
- Fournir un moyen de rapporter l'état et la gestion des erreurs lors des opérations d'accès d'étiquette.
- Fournir des moyens nécessaires pour effectuer des commandes qui peuvent en avoir besoin, comme la commande 'Kill' dans le Protocole UHF Interface Air [8].
- Fournir des moyens pour contrôler les aspects du fonctionnement du Protocole de Tag, y compris les paramètres de protocole et les paramètres de signalisation.
- Fournir des moyens pour faciliter l'ajout du support pour les nouveaux protocoles d'air
- Fournir des moyens pour la récupération des capacités de l'appareil lecteur.

4.1.3 Rôle de l'interface RFID

L'infrastructure RFID est constituée des éléments de réseau qui participent à la gestion (par exemple, lecture / écriture / verrouillage) et la transmission de données de l'étiquette. La destination des données d'étiquette sont les éléments de réseau clients (applications par exemple, l'utilisateur final, base de données). Les éléments de réseau entre l'étiquette et les clients forment le support pour transporter les données de l'étiquette sur le réseau et de transmettre les commandes opérationnelles des balises.

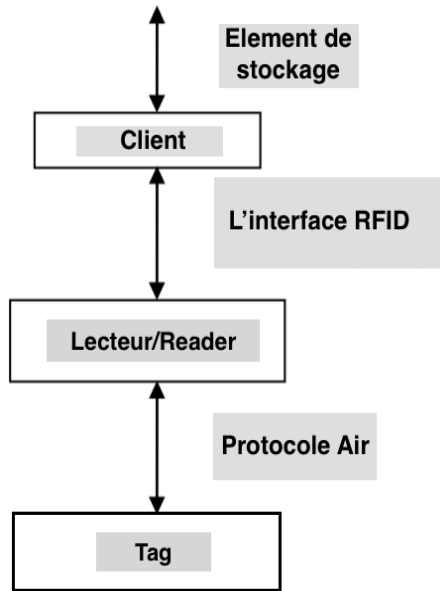


FIGURE 4.2 – Organigramme de l'interface RFID

La figure 3.6 illustre la position de l'interface RFID dans l'architecture de la pile entre le rôle du client et le rôle du Tag. Le rôle du client peuvent être classés en trois grands groupes fonctionnels : traitement des données d'étiquette, la gestion du lecteur et le contrôle du lecteur et de la coordination. Avec l'avènement de protocoles d'air sophistiqués comme UHF Class 1 Gen-2 [8], et les déploiements du plus grand nombre de lecteurs, la nécessité d'un contrôle du lecteur et de la coordination du réseau de lecteurs dans l'architecture devient importante. Cette Interface facilite la fonction de contrôle en exposant le protocole d'air. À cet effet, cette interface est donc conçue pour être extensible en termes de supportant les protocoles d'air multiples.

Les exigences physiques et logiques pour la communication entre le lecteur et l'étiquette sont définies par le protocole de l'air. Plus précisément, le protocole d'air définit la couche de signalisation de la liaison de communication, les procédures et les commandes d'exploitation des lecteurs et étiquettes, et l'arbitrage de collision comme schéma pour identifier une balise spécifique dans un environnement multi-tag. La mémoire de l'étiquette dans le protocole C1G2 est logiquement séparée en quatre banques distinctes : la mémoire réservée, la mémoire de l'EPC, la mémoire TID et mémoire utilisateur. La carte mémoire physique de l'étiquette est spécifique au fournisseur. Le protocole de l'air commandes qui accèdent à la mémoire ont un paramètre qui sélectionne la banque, et un paramètre adresse pour sélectionner un emplacement de mémoire particulier au sein de cette banque.

Les opérations fondamentales d'un lecteur sur une population d'étiquette sont l'inventaire et accès. L'inventaire est l'opération d'étiquettes d'identification. En utilisant le schéma d'anti-collision, le lecteur détecte une balise unique et demande le contenu de la mémoire de l'EPC de l'étiquette. L'accès est l'opération de communication avec (lecture et / ou en écrivant à) une balise. Une balise individuelle doit être identifiée de manière unique avant l'accès. Semblable à l'opération d'inventaire, l'accès multiple comprend les commandes de protocole de l'air. En outre, un lecteur peut choisir un sous-ensemble de

la balise de population pour l'inventaire et l'accès. Cette opération est appelée Sélectionnez dans le protocole C1G2. L'opération de sélection est utilisée pour sélectionner et / ou dé-sélectionner une population de balise particulière pour l'inventaire ultérieur et / ou opération d'accès. Cela permet de concentrer les opérations sur le sous-ensemble désiré de balises, et également la population d'étiquette participant à l'opération d'anti-collision, améliorant ainsi le taux d'anti-collision globale.

Il est prévu que la performance globale du système peut être optimisé en réglant le RF, anti-collision et protocole d'air au sein et entre les lecteurs. La performance peut encore être optimisé si le réglage fait conscient de l'environnement RF dans le voisinage du Reader.

4.1.4 Vue globale sur l'interface RFID

l'interface RFID concerne spécifiquement la fourniture des formats et des procédures de communication entre un client et un lecteur. Les unités de données de l'interface RFID sont appelés messages. Les messages du client vers le Reader permettent d'obtenir et définir la configuration des lecteurs, des capacités de découverte de lecteurs et de gérer les opérations d'inventaire et d'accès aux lecteurs. Les messages du Reader pour le client comprennent trois portions du statut Reader, enquête RF, l'inventaire et l'accès des résultats. l'interface RFID est un protocole de couche d'application et ne fournit pas de retransmission, ou des installations de remise en ordre. la cohérence de l'Etat entre le client et le lecteur est essentiel pour le bon fonctionnement du système. Utilisation de messages , le client met à jour l'état du lecteur qui comprend des paramètres de configuration du lecteur, des structures de données créées dynamiquement, et éventuellement des données des fournisseurs définis. Pour cette raison, le protocole exige des accusés de réception pour le client aux transactions Reader - cela fournit un mécanisme de sécurité à la couche application pour faire face à des situations d'erreur réseau. En outre, pour faire face à des connexions intermittentes, un client peut demander l'état de configuration d'un lecteur pour confirmer que l'état d'un lecteur est compatible avec le client. Les messages clients sont principalement des rapports, des notifications d'état ou keepalives. Seuls les keepalives sont reconnus par le Client. Comme on le voit sur la figure 3.7, du

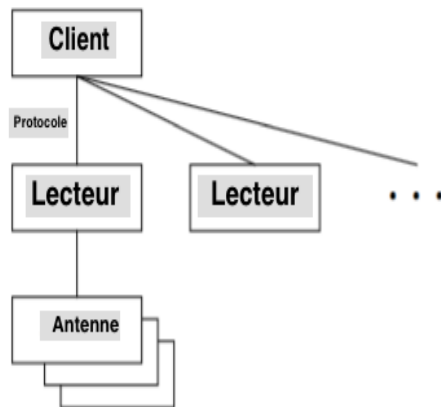


FIGURE 4.3 – Illustration du système RFID

point de vue de notre protocole, un lecteur contient une collection d'une ou plusieurs

antennes. De plus, les lecteurs employé dans le présent cahier des charges ne sont pas nécessairement en correspondance un à un avec les dispositifs matériels.

4.1.5 Chronologie de fonctionnement du protocole

Le fonctionnement du protocole ou d'une connexion comporte deux phases : la phase de négociation et la phase exécution.

Phase de négociation

Un client et un lecteur devront négocier une version de protocole pris en charge mutuellement pour chaque connexion. Lorsqu'une connexion est d'abord établi, à la fois le client et le Reader supposent la version 1. A l'exception les messages de négociation de version, les messages sont envoyés par le Client jusqu'à ce que le processus de négociation de version est complète. La négociation de la version est effectuée en utilisant des messages prédéfini est initiée par le Client. Le client demande la version de protocole pris en charge par le Reader, puis détermine une version appropriée pour la connexion (type de message).

Une fois qu'une version a été établie à l'aide de cette procédure, tous les messages suivants sont envoyés en utilisant les message prédéfini par le lecteur. La chronologie de fonctionnement de la phase de négociation entre un client et un lecteur est représenté sur la figure 3.

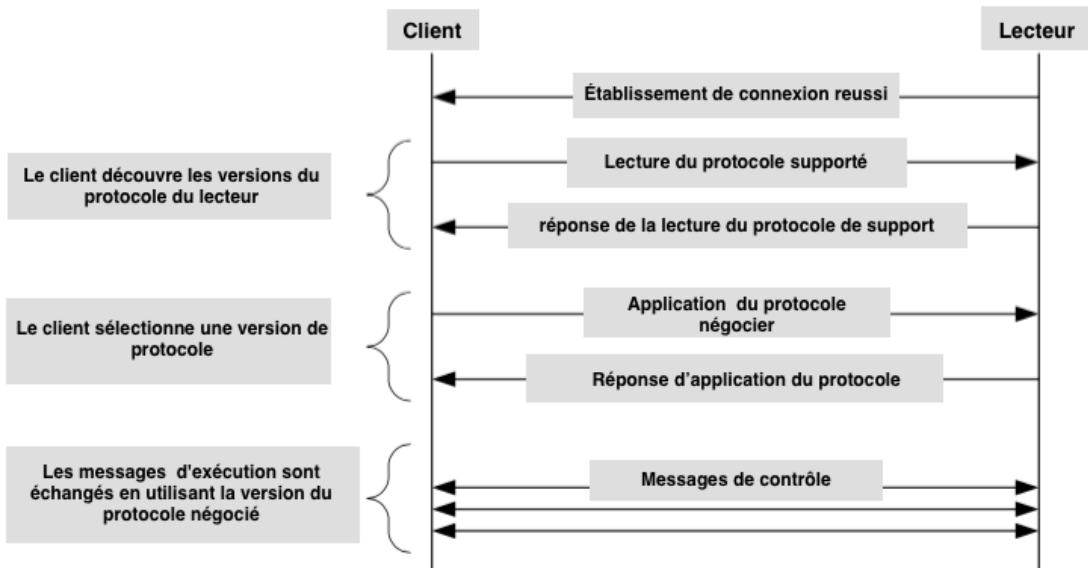


FIGURE 4.4 – Phase de négociation

Phase d'exécution

L'opération d'exécution comprend les phases d'exécution suivantes :

- découverte des capacités
- Configuration de l'appareil
- opérations d'inventaire et d'accès cycles configuration d'inventaire exécutés

- Si les conditions d'étiquettes adaptées, les opérations d'accès seront exécutés pendant l'exécution du cycle des stocks.
- opérations d'accès incluent la lecture, l'écriture et de verrouillage mémoire d'étiquette, étiquettes tuant, etc.
- Les opérations RF
- Rapports retournés au Client

La figure 4.4 illustre toutes les étapes les messages échangés entre le lecteur, client et les tags.

Le protocole utilise des unités de données de protocole appelées messages pour communiquer entre le client et le Reader pour les mises à jour des clients ou pour récupérer la configuration du lecteur, en général pour le contrôle du fonctionnement du lecteur. Cette section nous a donné un aperçu global du modèle abstrait du protocole, dans le chapitre suivant on va présenter le logiciel qui mis en œuvre ce protocole.

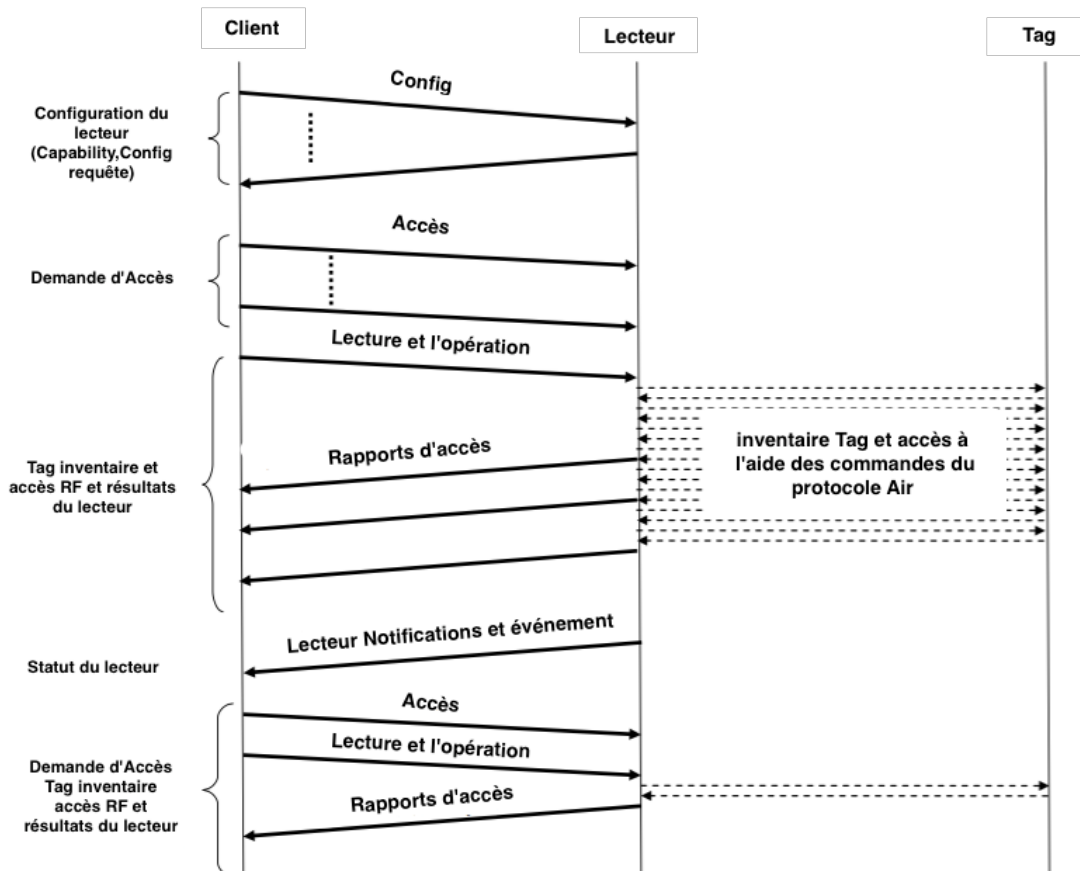


FIGURE 4.5 – Phase d'exécution

4.2 SmartFlah

Dans cette section on va parler du troisième projet qui consiste à développer une application android pour le tag LF. On va commencer par une petite présentation du plateforme Android puis on va parler de tout les fonctionnalité que que application nous permet. aussi une étude sur le domaine de agriculture qui nous a inspirer pour réaliser ce projet .

4.2.1 La plateforme android

Android est le logiciel qui fait tourner plus d'un téléphone ou tablette sur deux dans le monde. il est de type système d'exploitation mobile comme « Windows » est un système d'exploitation sur PC., Il fait tourner votre mobile. Il existe d'autres systèmes d'exploitation mobile concurrents comme iOS Apple, BlackBerry OS, Bada, Windows mobile... il est ouvert dont le code source est librement accessible (contrairement aux systèmes de Apple ou Microsoft) ce qui permet à n'importe quel fabricant de l'intégrer dans son système gratuitement. Ce modèle est opposé au modèle de Apple, et explique en grande partie la forte croissance. Android est basé sur Linux qui tourne sur une grande variété de marques de téléphones et de tablettes différentes telles que Samsung, Motorola, Sony, Google Nexus, Acer, LG, Dell et bien plus encore (liste complète sur android.com) Cette diversité représente à la fois un avantage (diversité et choix pour le consommateur) et un inconvénient (problèmes de compatibilité des applications avec les différents modèles, en particulier les plus exotiques)

4.2.2 Étude du marcher de l'agriculture

La majorité des éleveur au Maroc que sa soit dans l'enlevage pour la production ou pour l'amélioration du race en un besoin urgent pour des solution de gestion de leur production ou leur stock. Et avec le convention que l'état a lancer qui consiste à mettre une tag LF dans les oreilles des bette. Le rêves des éleveur pour des solution statistique qui va les aider à chamerlier leur production ou de détecter les point faible dans leur maniére de gérer leur ferme et devenu indispensable. L'état na pas présenter une solution informatique au éleveurs, elle a jus installer les tag affecter les ID au éleveur pour la sécurité, mais a quoi bon pour un éleveur qui ne compte pour lui que voire un maximum d;information concernant sa ferme.

Ici montre un besoin énorme de penser à une solution pour informatiser notre domaine de production agricole. que ça soit la production du viande rouge ou du lait. c'est pour cela avec le soutien de MAscir on a put concevoir un prototype d'une solution informatique pour les éleveur marocaine. dans ce qui suit je vais faire une présentation globale de notre solution.

4.2.3 La conception de la base de données

Touts project informatique se base énormément sur une base de données puissante qui exprime le besoin derrière. la conception de notre base de données ce divise en trois étape indispensable.

- Analyse de la situation existante et des besoins

- Création d'une série de modèles conceptuels (canonique et vues externes) qui permettent de représenter tous les aspects importants du problème
- Implémentation d'une base de données dans un SGBD, à partir du modèle logique
- Implémentation d'une base de données dans un SGBD, à partir du modèle logique

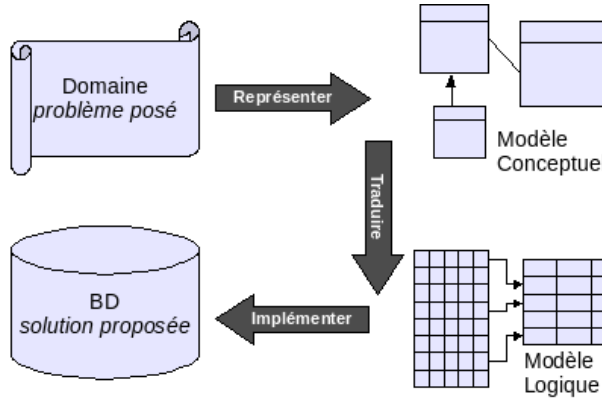


FIGURE 4.6 – Etape de conception d'une base de données

Cycle d'abstraction de conception des systèmes d'information

La conception du système d'information se fait par étapes, afin d'aboutir à un système d'information fonctionnel reflétant une réalité physique. Il s'agit donc de valider une à une chacune des étapes en prenant en compte les résultats de la phase précédente. D'autre part, les données étant séparées des traitements, il faut vérifier la concordance entre données et traitements afin de vérifier que toutes les données nécessaires aux traitements sont présentes et qu'il n'y a pas de données superflues.

Cette succession d'étapes est appelée cycle d'abstraction pour la conception des systèmes d'information :

L'expression des besoins aboutit au MCC (Modèle conceptuel de la communication) qui définit les flux d'informations à prendre compte. L'étape suivante consiste à mettre au point le MCD (Modèle conceptuel des données) et le MCT (Modèle conceptuel des traitements) décrivant les règles et les contraintes à prendre en compte. Le modèle organisationnel consiste à définir le MLD (Modèle logique des données) qui représente un choix logiciel pour le système d'information et le MOT (Modèle organisationnel des traitements) décrivant les contraintes dues à l'environnement (organisationnel, spatial et temporel). Enfin, le modèle physique reflète un choix matériel pour le système d'information.

| Niveau | Statique (données) | Dynamique (traitements) | |
|----------------------------|--------------------|-------------------------|------------------------------------|
| Conceptuel | MCD | MCT | Indépendant du système : QUOI ? |
| Organisationnel ou logique | MLD (OU ?) | MOT (QUI ? QUAND ?) | Choix du SGBD : QUI ? QUAND ? OU ? |
| Opérationnel ou physique | MPD | MOPT | Haute connaissance du SGBD |

TABLE 4.1: rrrrr

Notre conception pour cette solution résulte en trois table (tag,vaccin,doctor). Chaque tag représente un animal et un animal a une date de naissance, une race, un propriétaire. et bien sur pour des contrainte informatique on était obligé d'ajouter des information supplémentaire comme la latitude la longitude et la date cette tag a été lu.

Un animal doit faire d'une manière périodique des vaccin chez un docteur. Pour des raison informatique on a ajouter des champ comme type de vaccin et la remarque. bien sur pour identifier un docteur on a besoin de son nom et son adresse. ces attribues seront utiliser ultérieurement pour la conception et la gestion des information.

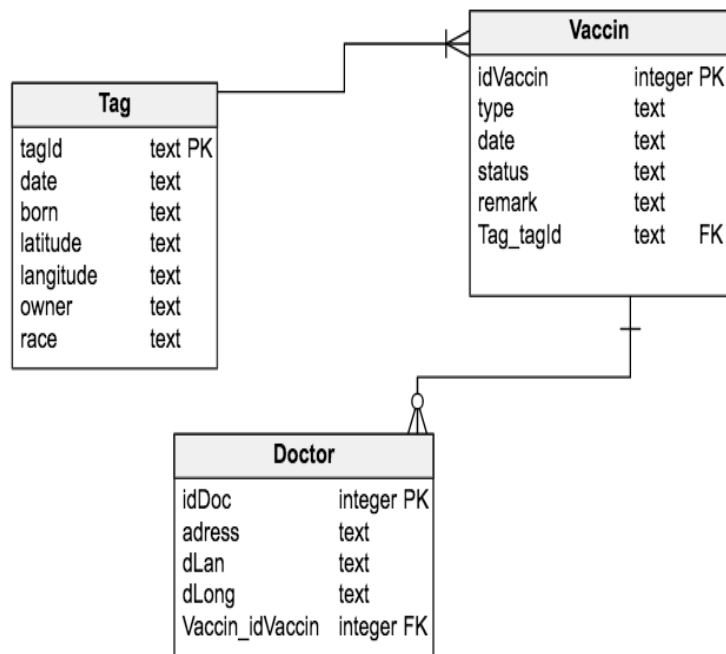


FIGURE 4.7 – Fonctionnalité de l'application

4.2.4 Fonctionnalité

L'application nous permet de lire l'identifiant de la tag LF, cette étape consiste à faire un décodage du langage compris par le téléphone est ce qu'on utilise comme donnée au niveau de notre base de donnée et trainement de information. après cette étape deux scénario ce manifeste soit la tag est déjà dans notre base de donnée et donc ce cas on offre à l'utilisateur la possibilité de consulter les données reliées à son ID en parallèle application nous permet de visualiser l'historique de toutes les lectures effectuées. l'autre scenario c'est celui où la tag n'a jamais été dans notre base de donnée. dans ce cas on demande à l'utilisateur de remplir les informations reliées à l'animal et bien sûr une autre possibilité est celle de remplir les informations dans le cas où le docteur consulte l'animal. finalement l'application permet de sauvegarder les données en générant un rapport automatique au serveur.

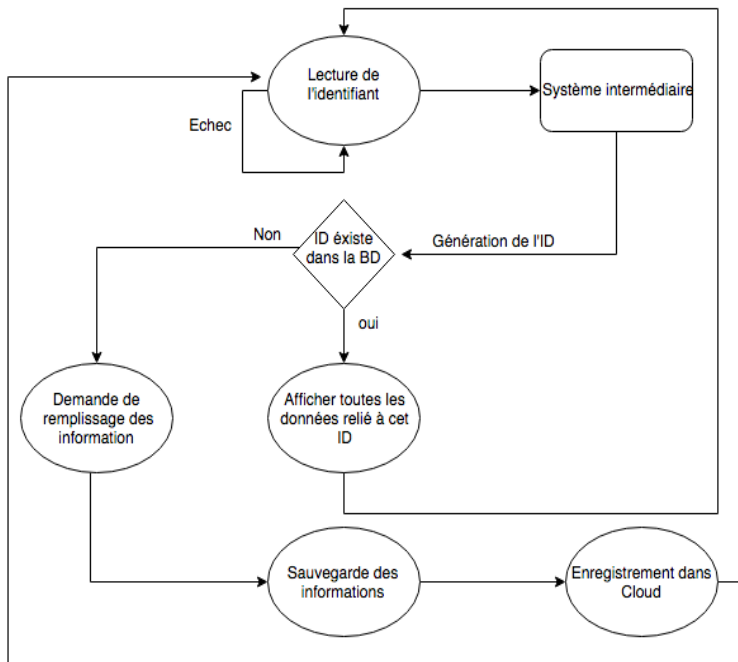


FIGURE 4.8 – Fonctionnalité de l’application

Les test et vérification seront présenter dans la chapitre suivant ainsi les captures et l’explication de l’interface utilisateur.

4.3 Antenne UHF

RFID a des nombreuses applications, une utilisation de cette technologie est pour l’identification des objets dans un stock. Les objets tels que palettes et les cartons sont étiquetés ce façon à lutter contre, le vole et la mauvaise gestion du stock. la détection des objets encapsuler dans les cartons a était une tâches impossible sans ouverture des cartons, maintenant avec la RFID cette tâches et devenu une question de quelque seconds.

4.3.1 Introduction

Les étiquettes RFID utilisé au paravent pour cette application sont passifs et surtout opèrent dans le bas fréquence (LF). Cependant, les balises LF ne peuvent être lus qu'a courte portée et peuvent ne pas se comporter bien lorsque plusieurs balises sont simultanément présents dans le domaine.les solution se tourne maintenant vers l’utilisation des tags UHF. tags UHF non seulement donnent une meilleur distance de lecture, mais prennent également en charge des débits plus élevés.

Dans cet section, une simple petite étiquette RFID passive opérant dans la fréquence de 915MHz (UHF) est présent. Dans la section suivante, une brève théorie sur l’antenne de l’étiquette et la puce utilisée dans notre conception, ainsi que la topologie de la conception théorique et pratique utilisée, suivie d’une discussion sur les points forts de la conception et les détails de sa mise en œuvre pratique avant que des conclusions sont présentées dans la dernière section.

4.3.2 Tag antenne et Base du die

L'antenne choisie pour l'étiquette est une antenne en boucle. La figure 1 montre une antenne en boucle ayant un diamètre D de la boucle et un fil de diamètre d. Une antenne en boucle est choisie car elle dispose d'une structure circulaire qui permet de minimiser la taille par rapport au autre technologie comme les middenredded et les Microstrip.

Une antenne dipôle électrique est non plus possible. le problème du dipôle électrique demi-onde pour la fréquence de fonctionnement qu'on utilise serait de trop grande taille alors qu'un petit dipôle électrique peut être utilisé, mais l'expérience montre qu'il est difficile à l'adaptation.

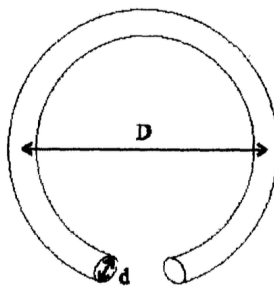


FIGURE 4.9 – L'antenne proposée

Le circuit équivalent de l'antenne est telle que représentée sur la Figure 3.7 a. En se référant à ce circuit, R_r est la résistance de rayonnement de l'antenne en boucle alors que L est l'inductance de l'antenne à boucle. Dans l'hypothèse de l'uniforme flux de courant, un tour de la résistance de rayonnement R , de l'antenne de la boucle peut être calculée en utilisant l'expression [1] :

$$R_r = 20(\pi)^2(\beta a)^4 \quad (4.1)$$

Sur l'hypothèse des courants circulant sur la la surface, l'inductance L de l'antenne peut être calculée en utilisant l'expression suivante [1] :

$$L = \frac{\mu_0 D}{2} \left[\ln\left(\frac{8D}{d}\right) - 2 \right] \quad (4.2)$$

Dans la figure 3.7b montre le circuit équivalent de la puce RFID, qui peut être représenté par une résistance R et d'un condensateur C en parallèle . R et C utilisé dans l'analyse et la conception de l'étiquette sont $1.3 \text{ k}\Omega$ et 1.15 pF respectivement.

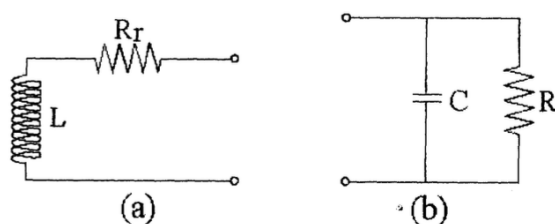


FIGURE 4.10 – le circuit équivalent pour (a) une antenne en boucle; (b) RFID tag puce

4.3.3 Design du Tag

La fréquence de fonctionnement de l'étiquette se trouve dans la bande UHF. Aux fins des calculs de conception, la fréquence de 915 MHz a été choisie. Dans la conception initiale, le diamètre de l'antenne de la boucle a été d'environ 2,2 cm à l'aide de 0,2 cm de diamètre fil rond ($D = 2.2\text{cm} \Rightarrow 0.2\text{cm}$).

En se référant à la figure 3.7a et se référant à l'équation (3.1) et (3.2), la résistance de rayonnement R de l'antenne en boucle peut être calculée pour être de $0,39 \Omega$ et la valeur de l'inductance L pour être $nH 34,24$.

Le circuit RC parallèle pour le circuit équivalent de la puce RFID, comme représenté sur la Figure 3.7 b peut être transformé en circuit équivalent en série constitué d'une résistance R' et une capacité localisée C' . les valeurs R' et C' peuvent être calculées à environ 17.36Ω et $1,17 \text{ pF}$ respectivement sur la base des valeurs R et C indiqués ci-dessus.

Par conséquent, à 915 MHz, l'impédance de source, l'impédance à savoir l'antenne, $Z_{antenne}$ est de $0,39 \pm j199 \Omega$ tandis que l'impédance de charge, Z_{charge} est $17.36-j149.2 \Omega$. On sait que le transfert de puissance maximale se produira lorsque l'impédance de source est égale au conjugué de l'impédance de charge. Par conséquent, un réseau d'adaptation est nécessaire pour obtenir un transfert de puissance raisonnable.

Il existe trois réseaux d'adaptation de base utilisés dans les conceptions RF - ils sont L, II et la configuration T. Chacun d'eux a ses avantages et ses inconvénients. Le réseau d'adaptation plus couramment utilisé est le circuit de L. Les raisons sont les suivantes :

- Simplicité - Facile à construire des réseaux d'adaptation automatique. Il n'a que deux éléments à contrôler pour ajuster la partie réelle et imaginaire de l'impédance.
- valeurs de composantes pratiques - certaines des configurations nécessitent soit des valeurs d'inductance très basses ou très hautes valeurs de capacité qui est impossible à faire surtout quand vous devez concevoir réseau d'adaptation automatique avec une gamme très large.

Le facteur de qualité Q du circuit est déterminée uniquement à partir de la source (générateur) et la charge (impédance du circuit d'impédance) et ne dépend pas de composants externes - ce qui est peut-être la propriété la plus importante du circuit. Ce que cela signifie est que pour certaine impédance de charge il n'y a qu'une combinaison de L et C pour correspondre à cette charge.

$$Q = \sqrt{\frac{R_{source}}{R_{charge}}} - 1 \quad (4.3)$$

Maintenant, en utilisant la définition de Q à vide pour trouver les séries et parallèles branches.

$$X_1 = QR_{source} \quad (4.4)$$

$$X_2 = \frac{R_p}{Q} \quad (4.5)$$

T et le réseau II nécessitent une algorithme de contrôle plus complexe pour la conception automatique de réseau d'adaptation. Elle nécessite de contrôler de trois composants qui le rend plus cher. Et l'inconvénient du circuit de L est qu'elle peut correspondre à des

charges égale ou inférieure à 50 Ohm. Si le circuit de L est inversé, il peut correspondre à des charges égale ou supérieure à 50 Ohm. Il ne peut pas correspondre aux deux côtés. Par exemple, si la charge est en train de changer de 35 à 100 ohms, le réseau de L inversé correspond uniquement à partir de 50 à 100 ohms et ne correspondra pas à 35-50 ohms.

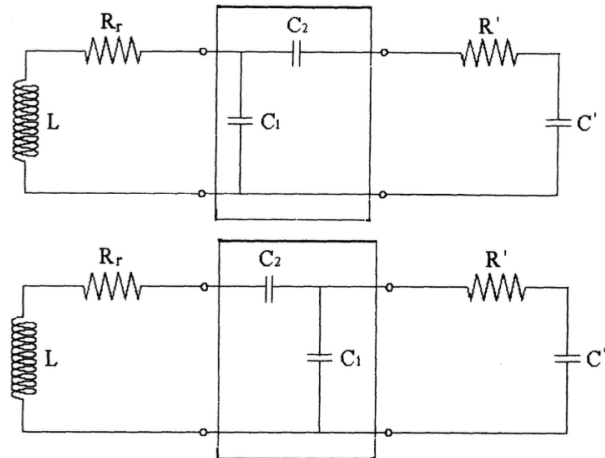


FIGURE 4.11 – Circuit d'adaptation L-shape

La figures 3.8 montre deux différents réseaux d'adaptation qui sont utilisés dans notre design. C_1 et C_2 peuvent être calculées numériquement ou en utilisant *Smith Chart*. Les valeurs calculées de C_1 et C_2 pour ces deux topologies que nous considérons sont présentés dans tableau 3.4.

| | Figure 3.8a | Figure 3.8b |
|------------|-------------|-------------|
| C_1 / pF | 0.743 pF | 6.557 pF |
| C_2 / pF | 0.148 pF | 0.998 pF |

TABLE 4.2: Réseau d'adaptation

4.3.4 Conception de mise en œuvre pratique

La conception a été démarré à l'aide d'une antenne en boucle et un réseau d'adaptation conçu comme indiqué dans les sections précédentes. L'étape suivante a consisté à examiner la mise en œuvre pratique de l'étiquette. Il a été décidé de mettre en œuvre la conception sur une très mince substrat avec une couche de cuivre sur l'avant côtés. La vue d'arrière du produit final est montré dans la conception figure 3.9. En utilisant le réseau d'adaptation représenté sur la figure. 3.8 b. Cela ne signifie pas que le réseau de d'adaptation représenté sur la figure 3.8a est meilleur que l'autre. Les deux réseaux d'adaptation sont équivalents à la fréquence de résonance, les raisons pour lesquelles l'une représentée sur la figure 3.8b a été choisi était parce qu'il est plus facile à mettre en œuvre par la méthode utilisée ici.

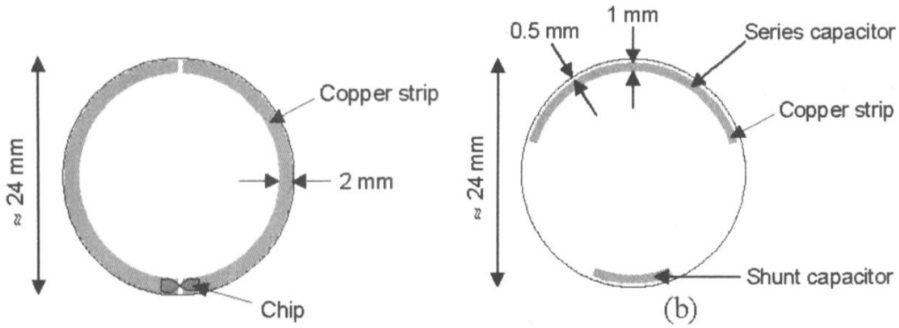


FIGURE 4.12 – Illustration RFID

Cette conception UHF de tag est constitué d'une antenne de boucle circulaire avec un réseau d'adaptation à deux éléments pour faire correspondre les impédances de l'antenne de l'étiquette et l'étiquette puce. Cependant, l'étiquette a été rendue légèrement plus grand diamètre par rapport à celui présenté dans la figure 3.10 en fonction de l'application étudiée.

Notre conception UHF étiquette (figure 3.10) considérée est constituée d'une antenne à dipôle électrique avec une piste courbe d'inductance à travers le dipôle à des fins d'adaptation d'impédance. La structure et les dimensions de cette balise est représenté sur la figure 3. Cette balise est faite en utilisant une carte FR4 avec une épaisseur de substrat $h = 1,6$ mm et de permittivité diélectrique $\epsilon_r = 4,4$. Cette conception de l'étiquette est de simple face.

La structure d'antenne est simulée en utilisant CST studio 2014 et l'impédance simulée est de $20 + j152 \Omega$. Comme on peut le voir, l'impédance de la structure d'antenne de l'étiquette est pas exactement le conjugué de l'impédance de la puce [6] et donc, l'étiquette et l'impédance de la puce ne sont pas tout à fait adapté.

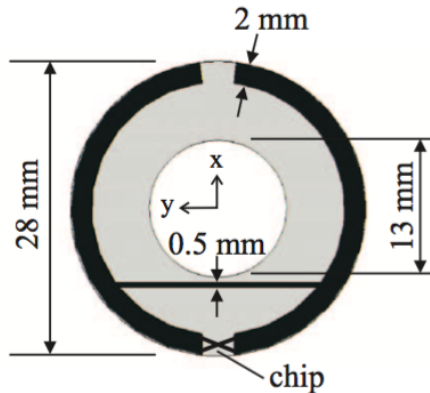


FIGURE 4.13 – UHF étiquette considérée

Cependant, la piste d'inductance à travers le dipôle ne fournit pas d'inductance suffisante pour accorder à la capacité de la puce de l'étiquette. Le diagramme de rayonnement de l'antenne, avec un maximum de directivité de 1,83 dB. Comme on le voit sur la section de simulation, bien que la forme générale du motif de rayonnement du première et seconde étiquettes UHF est presque identique, la directivité maximale de ces deux balises se produisent à différentes directions par rapport au plan des étiquettes. Les deux tags UHF ne sont pas testés et les résultats théorique de la distance de lecture sont présentés

dans le tableau 3.5.

| | UHF tag 1 | UHF tag 2 |
|-------------------------|-----------|-----------|
| Tag dans l'espace libre | 1.00 | 0.48 |
| Tag attaché à la main | 0.20 | 0.27 |

TABLE 4.3: Distance de lecture

4.3.5 Minaturisation des antenne CLA

Le cahier de charge impose par la nature de la solution a concevoir une antenne de petite taille ($>2\text{cm}$), la radiation doit être dans la bande autorise par l'ANRT et la puissance reçu au niveau de la puce doit êtres suffisante pour alimenter le circuit. Les deux antenne précédemment présenter en une taille relativement grand et les résultat de la simulation prédictie une mauvaise alimentation du circuit de la puce. donc on a était obligé de penser a une solution pour réduire la taille et améliorer les performance de l'antenne. La littérature [3] propose une solution possible qui peut miniaturiser une antenne en boucle circulaire (CLA) à l'aide de *short stubs* insérés dans la partie interne de la boucle. Dans le cas d'une longueur d'onde et une demi-longueur d'onde, respectivement, l'antenne est réduite jusqu'à 83% et 92,1% de sa taille par rapport au type CLA général. Par ailleurs la perte de retour, la bande passante -10dB et le gain d'une longueur d'onde et une demi-longueur d'onde sont de 12MHz (1,3%), et de 48MHz (5%). la deuxième méthode sera présenter dans avec la partie simulation dans le chapitre suivant.

La figure 3.11 présente des caractéristiques de changement de fréquence de résonance lorsqu'un *short stubs* est mis en œuvre à l'intérieur de la boucle de l'antenne. La longueur du *short stubs* est de 20 mm et la fréquence de résonance chute 30MHz (3,3%) à partir de 911.25MHz à 881.25MHz lorsque l'écart de la ligne est 2mm. En effet, le courant est distribué le long la longueur totale de la boucle est augmentée à 13%. En outre, non seulement les capacitances sont augmentées par la dilatation de la longueur de la boucle, mais aussi les inductances sont augmentées par la structure de *short stubs*. Par conséquent, l'impédance de l'antenne permet une adaptation d'impédance que la longueur de boucle est supérieure à une longueur d'onde, de sorte que la fréquence est éventuellement diminuée. Si elle est résonant à la même fréquence, le diamètre total de la boucle devient plus petit, de sorte que l'antenne cadre est miniaturisé par les bouts joints.

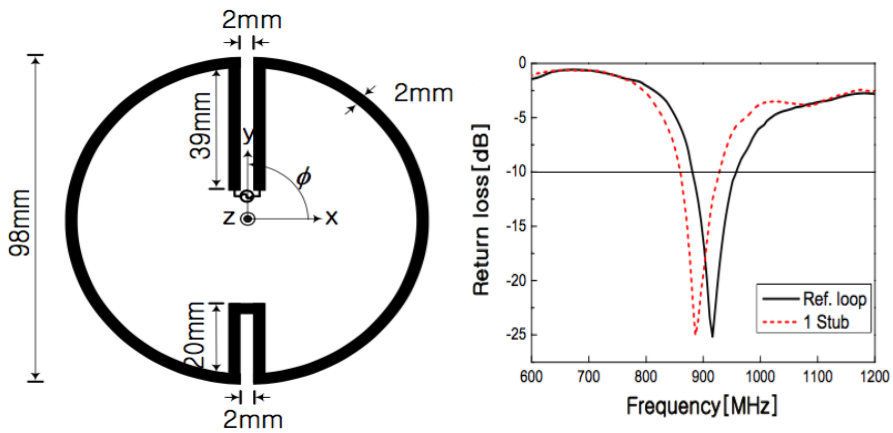


FIGURE 4.14 – CLA - S11

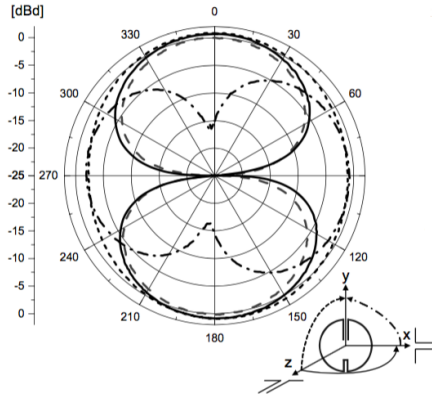


FIGURE 4.15 – far-field pattern avant miniaturisation

Au moyen du procédé de miniaturisation de l'antenne en boucle, l'antenne de la figure 3.11 est miniaturisé avec des *short stubs* de 11,5 mm et 7 mm . La largeur de la ligne est de 0.3mm et l'intervalle entre les lignes est de 0.3mm. Il est adapté à la longueur et l'intervalle de la ligne d'alimentation est de 8mm et 1mm. Le diamètre d'une antenne est miniaturisé à 40 mm.

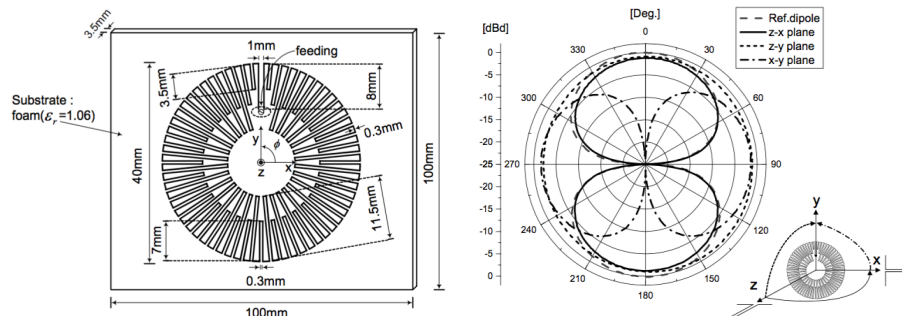


FIGURE 4.16 – CLA après miniaturisation

Une autre méthode a été conçue après des expériences de *Reverse Engineering* d'un tag UHF acheté sur le marché. Cette méthode consiste à boucler l'antenne en interne de telle sorte à minimiser le diamètre sans changer la longueur des deux pôles. La figure suivante présente les résultats de l'analyse par *X-RAY Reverse engineering* qui permet de voir l'antenne en interne sans détruire la pièce. La figure suivante présente les résultats du *Reverse engineering*. L'étiquette est constituée de deux couches de cuivre, la puce est fixée sur l'antenne avec *wire bonding*. La simulation de cette antenne sera présentée dans le chapitre suivant.

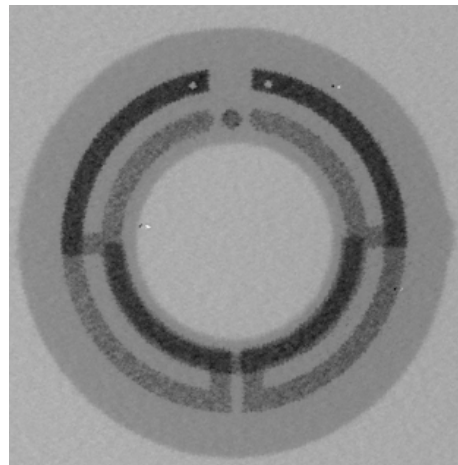


FIGURE 4.17 – X-Ray du tag UHF

On s'est inspiré de cette méthode qu'on appellerait dans ce rapport *bouclage interne* pour améliorer notre antenne et l'optimiser au niveau de la taille. La figure suivante montre la nouvelle version de l'antenne en figure 3.15. La taille a été réduite de 30 %. On a passé de 28 mm à 22 mm. La nouvelle structure permet un contrôle facile de fréquence et d'impédance. Dans la section qui suit, on présente une étude détaillée sur les avantages de cette nouvelle structure et aussi quelques améliorations qui nous ont permis de descendre encore plus bas en termes de diamètre de l'antenne. Une étude plus approfondie a été consacrée sur cette base afin de relever toutes les secrètes de cette méthode.

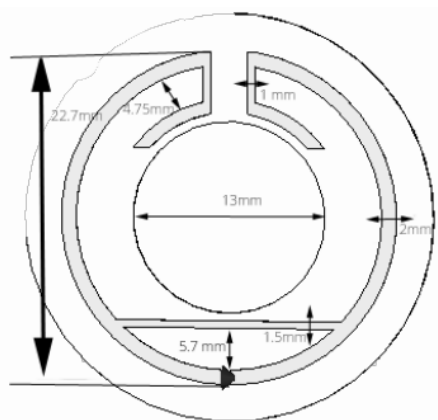


FIGURE 4.18 – Tag UHF amélioré

Comme le montre la figure 3.15 la taille a été énormément améliorer et les performances de cette antenne gardent les mêmes. cette structure nous a permis un bon contrôle de fréquence. toute variation de longueur de 2mm nous donne un décalage de fréquence de 10MHz. La figure 3.16 est le S11 après chaque coupure de boucle intérieure de 2mm. plus de détail sur la simulation seront présenter dans le chapitre suivant.

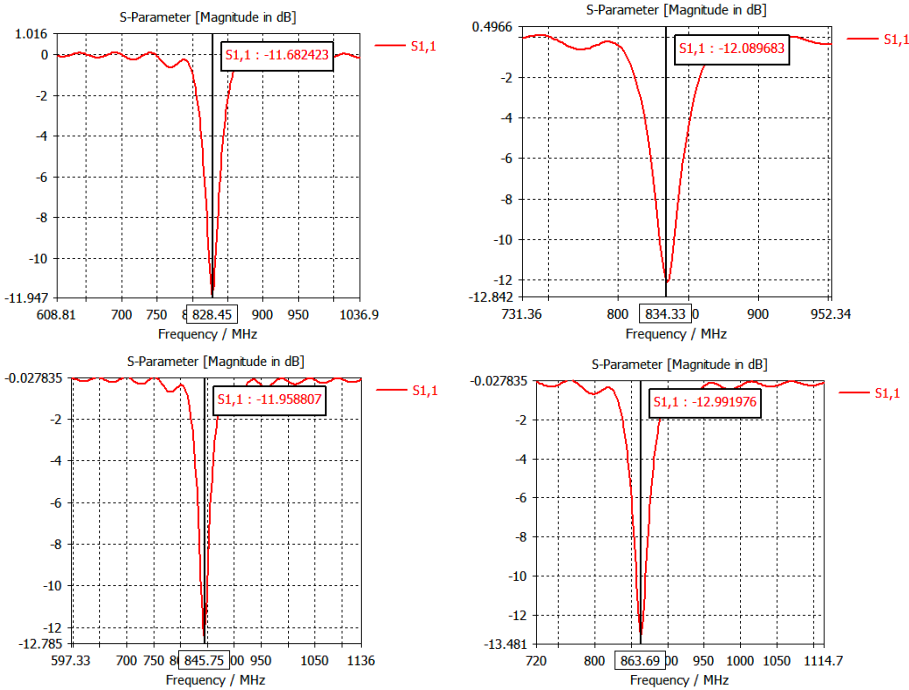


FIGURE 4.19 – S11 apres coupage de 2mm

La troisième étape consiste à réaliser l'antenne de la figure 3.17. Avant de concevoir un prototype de tag RFID destiné à la traçabilité des palettes, un modèle a été mis à notre disposition pour être analysé dans les laboratoires de MAScIR. Le but de cette analyse est de caractériser le produit et de déterminer les différents matériaux utilisés.

Pour faire une analyse non destructive qui consiste à faire une analyse générale du boîtier puis une description générale du package vu de l'extérieur, puis avec les Rayons X comme illustré la figure 3.14. Ensuite on procède à une analyse destructive qui consiste à décapser le package puis faire une décapstration du système.

Dans la figure suivante. Cette structure a été inspirée de l'analyse avec x-ray d'une antenne achetée au marché qui rayonne dans la fréquence 915MHz. L'expérience montre que sa distance de lecture est de 2m. plus de détail sur la simulation seront présenter dans le chapitre suivant.

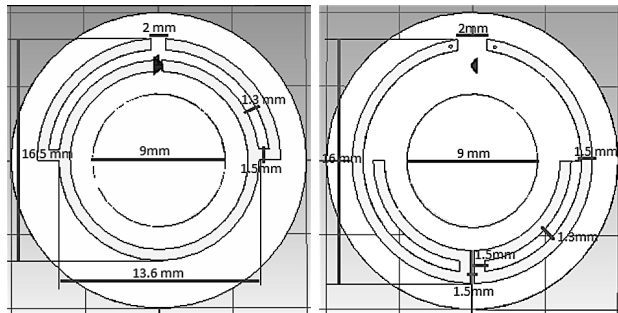


FIGURE 4.20 – S11du tag UHF améliorer

Dans cette section on a discuter les notion théorique qui régie les antenne a boucle circulaire qui représente une excellente solution pour les antenne de petite taille. Une étude sur les méthode d'optimisation on était détaillé dans cette section comme le *Short stub* et le bouclage interne qui permettent de réduire la taille et garder le caractère omnidirectionnel, après cette étape on a élaboré un plan d'expérience qui consiste à examiner une tag achète du marche et puis l'analyser avec un *X-RAY* pour s'inspirer de sa structure. le produit final de cette étude est une tag UHF marocaine d'excellente performance.

Chapitre 5

Réalisaison et simulation du projet

Dans ce chapitre je présente les outils de réalisation et de simulation en suite la réalisation du projet et les étapes de test et vérification et finalement un plan de mise en œuvre et plan de maintenance.

5.1 Outils de réalisation et de simulation

5.1.1 Visuel Studio et .net C#

Visuel Studio

Microsoft Visual Studio est un environnement de développement intégré (IDE) de Microsoft. Il est utilisé pour développer des programmes informatiques pour Microsoft Windows, ainsi que des sites Web, des applications Web et des services Web. Visual Studio utilise les plates-formes de développement de logiciels Microsoft tels que l'API Windows, Windows Forms, Windows Presentation Foundation, Windows Store et Microsoft Silverlight. Il peut produire à la fois du code natif et le code managé.

Visual Studio inclut un éditeur de code de support IntelliSense (le composant de complétion de code) ainsi que le code refactoring. Le débogueur intégré fonctionne à la fois comme un débogueur de niveau source et un débogueur de niveau de la machine. D'autres outils intégrés comprennent un concepteur de formulaires pour les applications bâtiment de l'interface graphique, web designer, concepteur de la classe, et concepteur de schéma de base de données. Il accepte les plug-ins qui améliorent la fonctionnalité à presque tous les niveaux, y compris l'ajout du support pour les systèmes de commande source (comme Subversion) et l'ajout de nouveaux jeux d'outils tels que les éditeurs et les concepteurs visuels pour les langues spécifiques au domaine ou toolsets pour d'autres aspects du cycle de vie du développement logiciel (comme le client Team Foundation Server : Team Explorer).

Visual Studio supporte différents langages de programmation et permet à l'éditeur de code et débogueur pour support presque tout langage de programmation, C, C++, VB.NET (Visual Basic .NET), C sharp (via Visual C #), et F # (à partir de Visual Studio 2010). Le support d'autres langages tels que Python, Ruby, Node.js, et M entre autres est disponible via les services linguistiques installés séparément. Il prend également en charge XML / XSLT, HTML / XHTML, JavaScript et CSS. Java (et J #) ont été pris en charge dans le passé.

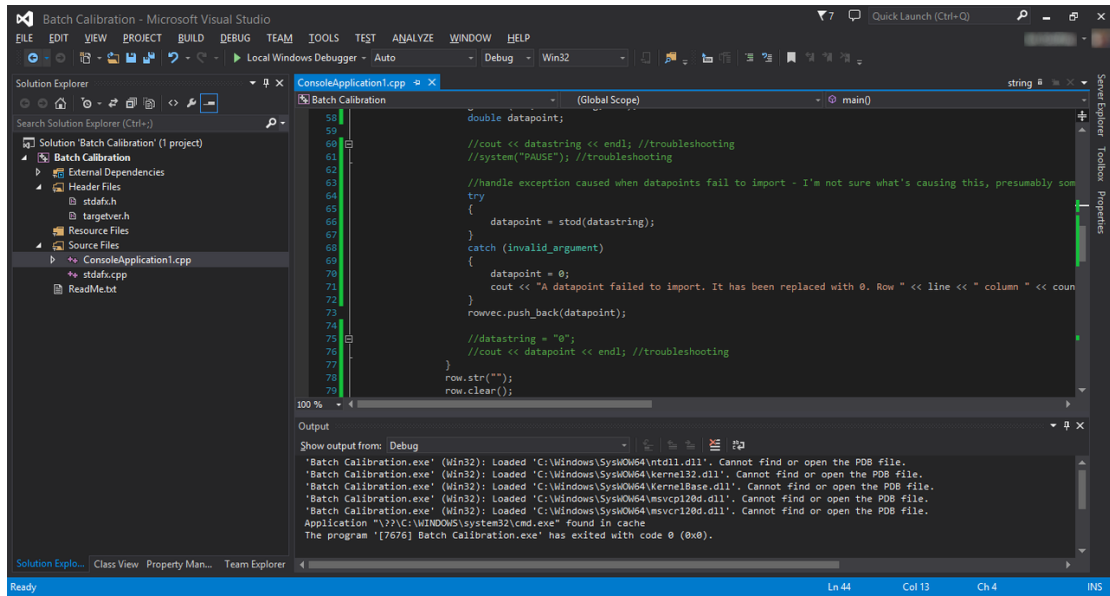


FIGURE 5.1 – Interface Visual studio

.net C

C # est un langage orienté objet élégant et de type sécurisé qui permet aux développeurs de créer une variété d'applications sûres et robustes qui fonctionnent sur le .NET Framework. Vous pouvez utiliser C # pour créer des applications Windows client, les services Web XML, composants distribués, les applications client-serveur, les applications de base de données, et beaucoup, beaucoup plus. Visual C # fournit un éditeur avancé de code, les concepteurs d'interface utilisateur pratique, débogueur intégré, et bien d'autres outils pour faciliter le développement d'applications basées sur le langage C # et .NET Framework.

programmes C # exécuter sur le .NET Framework, une partie intégrante de Windows qui inclut un système d'exécution virtuel appelé le Common Language Runtime (CLR) et un ensemble unifié de bibliothèques de classes. Le CLR est la mise en œuvre commerciale par Microsoft de l'infrastructure de langage commun (CLI), une norme internationale qui est la base pour la création d'environnements d'exécution et de développement dans lequel les langues et les bibliothèques travaillent ensemble de façon transparente.

Le code source écrit en C # est compilé dans un langage intermédiaire (IL) qui est conforme à la spécification CLI. Le code et les ressources IL, tels que des bitmaps et des chaînes, sont stockées sur le disque dans un fichier exécutable appelé un ensemble, généralement avec une extension .exe ou .dll. Un assemblage contient un manifeste qui fournit des informations sur les types de l'assemblage, la version, la culture, et les exigences de sécurité.

Lorsque le programme C # est exécuté, l'ensemble est chargé dans le CLR, ce qui pourrait prendre diverses mesures basées sur les informations contenues dans le manifeste. Ensuite, si les conditions de sécurité sont remplies, le CLR effectue juste à temps (JIT) pour convertir le code IL aux instructions machine natives. Le CLR fournit également d'autres services liés à la collecte automatique des déchets, la gestion des exceptions, et

la gestion des ressources. Le code qui est exécuté par le CLR est parfois appelé «code managé,» contrairement à "code non managé" qui est compilé en langage machine natif qui cible un système spécifique. Le schéma suivant illustre la compilation et l'exécution des relations de fichiers source C # de code, les bibliothèques de classes .NET Framework, les assemblages et le CLR.

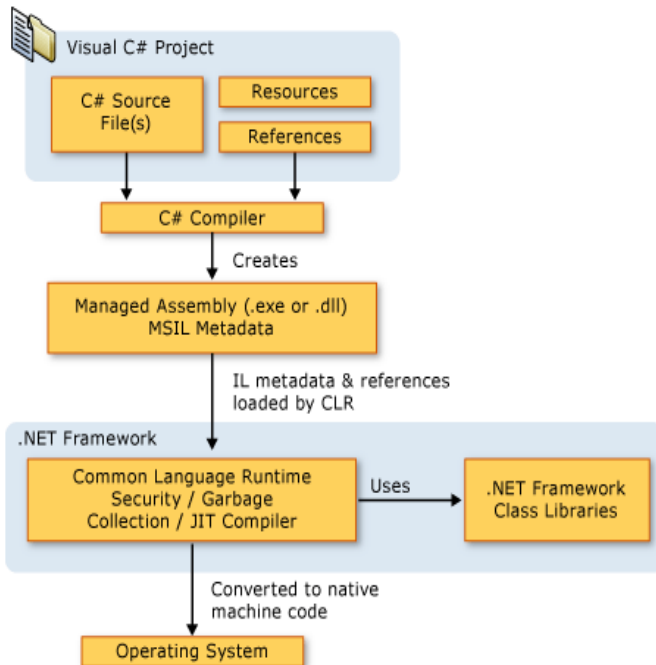


FIGURE 5.2 – Architecture du Framework .net

5.1.2 Android Studio

Android Studio est l'environnement de développement intégré officiel (IDE) pour le développement de la plate-forme Android. Il a été annoncé le 16 mai 2013 à la conférence Google I / O. Android Studio est disponible gratuitement sous la licence Apache 2.0. Android Studio a été au début de l'étape accès à l'aperçu à partir de la version 0.1 en mai 2013, puis est entré phase bêta à partir de la version 0.8 qui a été publié en Juin 2014. La première version stable a été publié en Décembre 2014, à partir de la version 1.0.

Basé sur le logiciel IntelliJ IDEA de JetBrains, Android Studio est conçu spécifiquement pour le développement Android. Il est disponible en téléchargement sur Windows, Mac OS X et Linux, et remplace Outils Eclipse développement Android (HAA) comme IDE primaire de Google pour le développement d'applications Android native.

Les nouvelles fonctionnalités devraient être déployé avec chaque version d'Android Studio. Les fonctions suivantes sont fournies dans la version stable actuelle :

- Gradle-based renforcer et soutien.
- Refactoring Android-spécifique et des solutions rapides.
- Outils de monitoring de performance, facilité d'utilisation et la compatibilité de version
- Assistants basés sur des modèles pour créer des dessins et des composants

- Un riche éditeur de mise en page qui permet aux utilisateurs de glisser-déposer les composants de l'interface
- Soutien pour la construction Porter les applications Android
- Support intégré pour Google Cloud Platform, intégration permettant à Google Cloud Messaging et App Engine.

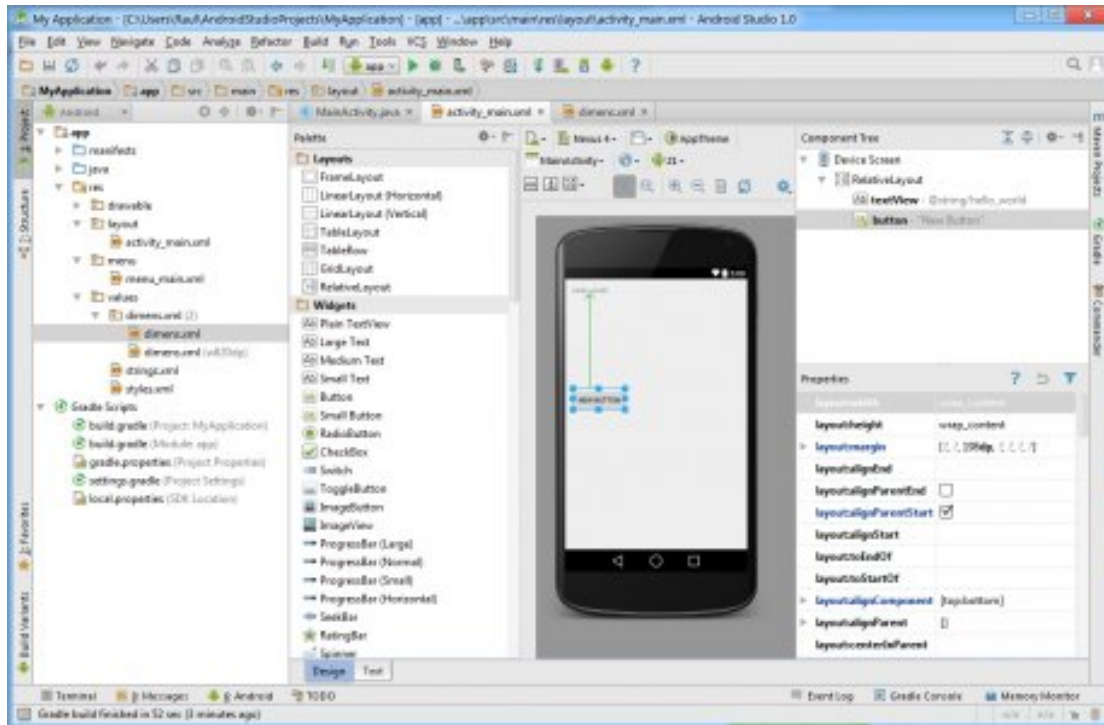


FIGURE 5.3 – Interface de Android Studio

5.1.3 CST studio

CST MICROWAVE STUDIO (CST MWS) est un outil spécialisé pour la simulation 3D EM de composants à haute fréquence. une performance inégalée de CST MWS ce qui en fait le lui premier choix dans la technologie de radio fréquence.

CST MWS permet l'analyse rapide et précise de haute fréquence (HF) des dispositifs tels que des antennes, des filtres, coupleurs, plans et les structures multicouches. Exceptionnellement utilisateur conviviale, CST MWS vous donne rapidement un aperçu du comportement EM de nos conceptions à haute fréquence.

CST support la technologie complète pour la 3D EM. Le solveur *Time Domain* largement applicable et le solveur de *domaine de fréquence*, CST MWS offre d'autres modules de solveurs pour des applications spécifiques.

CST MICROWAVE STUDIO est vu par un nombre croissant d'ingénieurs comme un outil de développement standard de l'industrie.

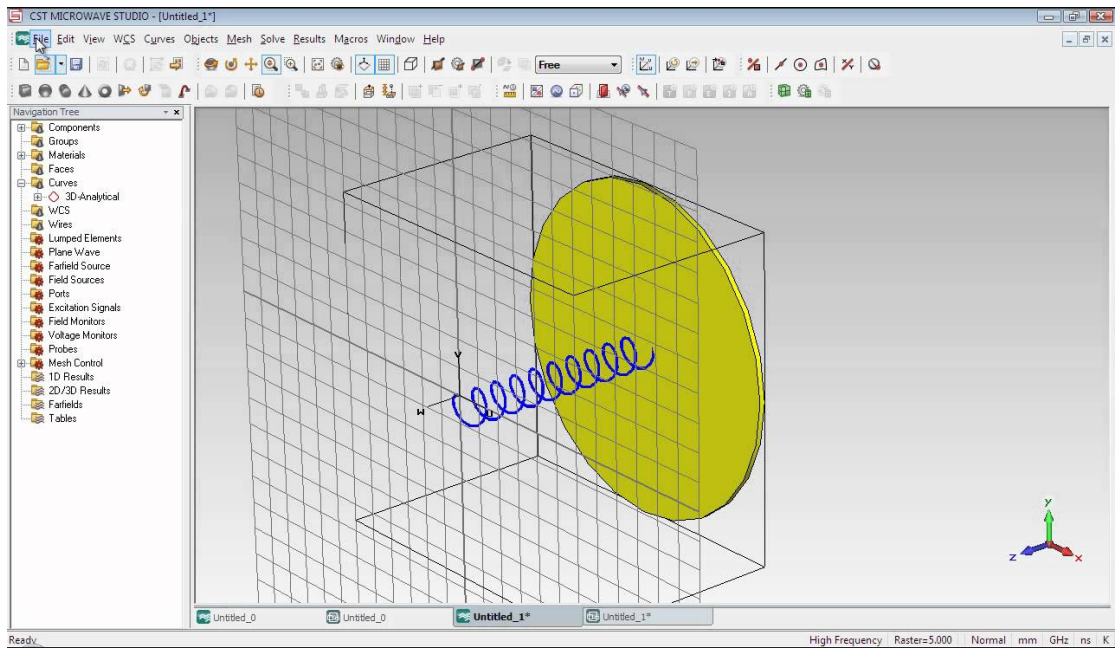


FIGURE 5.4 – Interface CST

5.2 Test et vérification

5.2.1 RFID Desktop

L’application desktop est un logiciel pour la gestion des entrée et sortie des palettes du stock. elle exécute au sein d’elle le protocole qu’on appelle l’interface RFID qui a pour tour communiquer avec le lecteur et la commande afin de bien gérer sont interface air. les détails de cette interface sont décrits dans le chapitre précédent.



FIGURE 5.5 – Rappel du système RFID

Dans la figure précédente je vais rappeler l’architecture globale d’un système RFID. Notre interface se positionne entre le lecteur et la base de données. cette interface permet l’acquisition des données du lecteur et les présenter dans une forme logique au utilisateur.

Interface utilisateur et option

L’interface utilisateur permet une visualisation des données organisées et bien claires à l’utilisateur elle permet aussi la gestion du serveur de base de données et les méthodes de sécurité de cette communication aussi les ajouter des dépendances comme l’état de tag (in ou out), elle permet aussi une d’ajouter la date la place où le tag a été lu. La figure

suivante est l'interface qui donne la main à l'utilisateur de contrôler sa base de données.

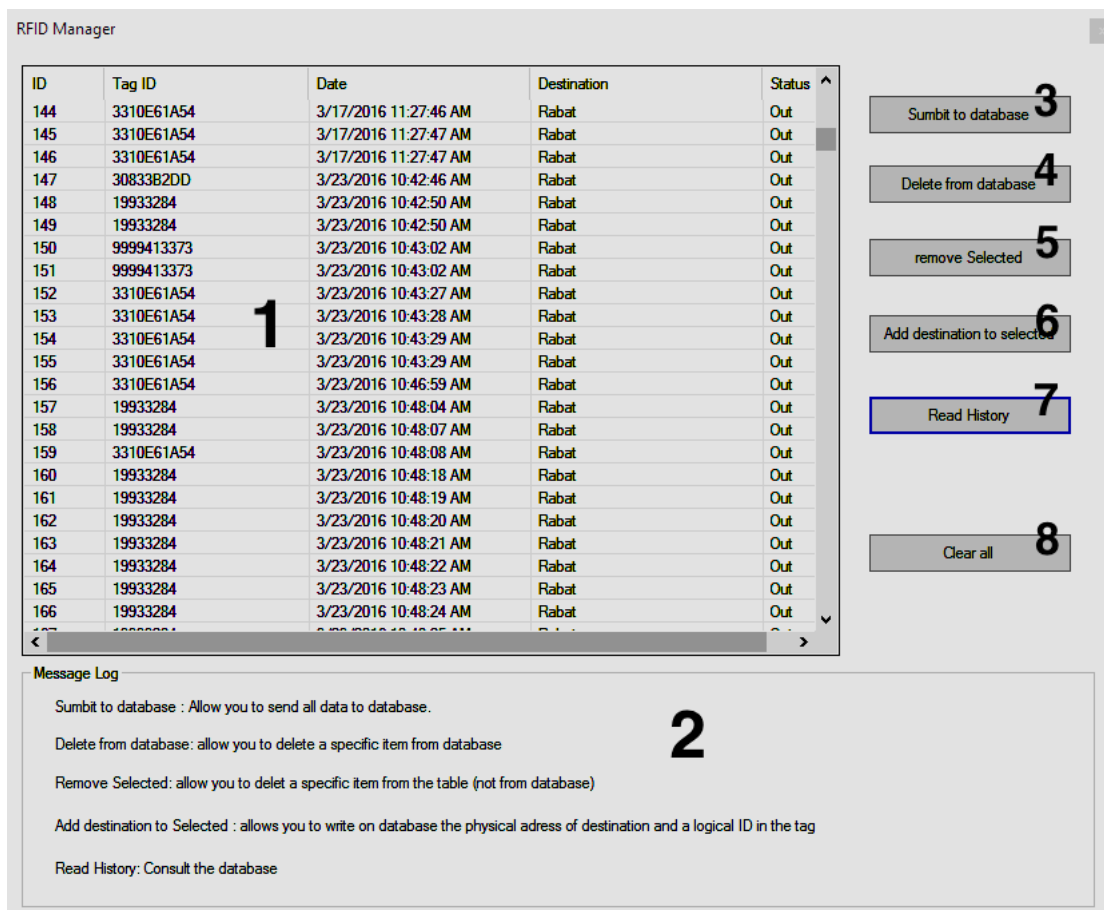


FIGURE 5.6 – L'interface utilisateur

La liste ¹, représente un espace où l'utilisateur peut visualiser les résultats de ces requêtes. Elle est répartie en six champs. L'ID est l'identifiant du paquet au sein du système de base de données. Les raisons derrière le choix de créer un nouveau ID et ne pas utiliser celui de la tag sont les suivantes :

- Il est plus rapide. A JOIN sur un nombre entier est beaucoup plus rapide que JOIN sur un champ de chaîne ou une combinaison de champs. Il est plus efficace de comparer des nombres entiers que les chaînes.
- Il est plus simple. Il est beaucoup plus facile de cartographier des relations fondées sur un champ numérique unique que sur une combinaison d'autres domaines de différents types de données.
- Ce sont des données indépendantes.
- Il est plus efficace si on cherche à faire un tri.

Le champ ² est un log qui permet de transmettre des informations très utiles pour l'utilisateur, comme le rôle de chaque bouton et comment interagir avec le logiciel. Le bouton ³ donne la possibilité à l'utilisateur de soumettre tous le contenu du champ liste à la base de données d'une manière simple et sécurisée sans perdre d'information. Le bouton ⁴ permet à l'utilisateur de mieux gérer sa base de données en donnant la

possibilité de supprimer un champ bien spécifique de la liste et de la base de données. cette possibilité vas facilite la maintenance des données dans notre base et éviter les répétition en cas d'erreur de lecture. le bouton ⁵ permet a l'utilisateur de supprimer des donnée de la list sans les supprimer de la base de données. le bouton ⁶ est une fonction alite très intéressante elle permet a l'utilisateur d'affecter une destination a un ou plusieurs champs de la liste. cette fonctionnalité permet une traçabilité claire des palette. le bouton⁷ est la fonction alite d'historique elle permet de lire toutes les donner de la base de données. et les afficher dans la liste avec toutes les attribue relative a ces données. le bouton ⁷ permet la suggestion des donneuse afficher dans la liste sans les supprimer de la base de donnée.

5.2.2 Application Android - SmartFlah

Dans cette section je vais parler du deuxième projet qui consiste a développer une application android pour le tag LF, sa fonctionnalité qui vont facilite la vie a un consommateur ou éleveur des animaux de production de viande rouge. Les figures suivante présente toutes les *layout* de note application. Une explication détaillé des fonctionnalité sera présenter après. la figure suivante présente le lecteur LF RFID et le tag.



FIGURE 5.7 – LF RFID system

Interface Android et Fonctionnalité

La figure suivante est la première *layout* qui s'affiche après le lancement de l'application. Dans cette *layout* on affiche le ID lu par le lecteur LF avec la possibilité de le valider ¹. l'interface propose trois possibilite pour l'utilisateur : l'envoi ² du rapport des IDs lu au serveur distant, elle donne la possibilité aussi de naviguer³ d'autre option avec un simple glisse a droite.

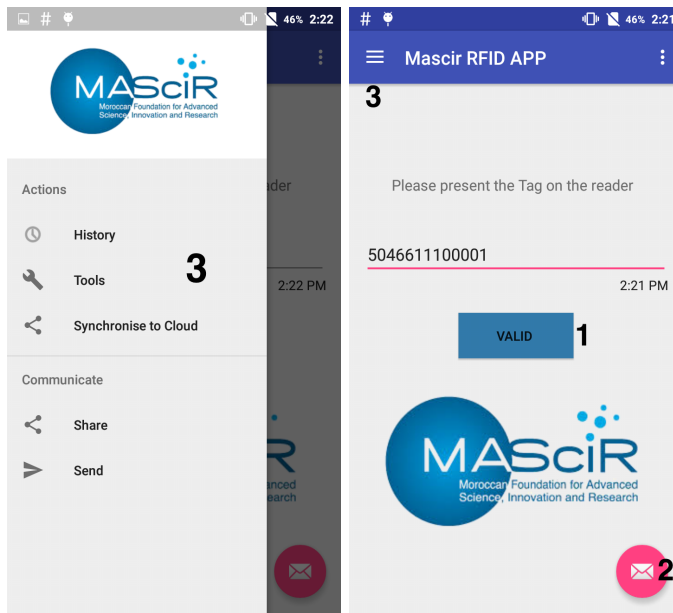


FIGURE 5.8 – Première layout

Après la validation de l'ID, deux scénario se manifeste. Soit l'ID existe dans la base de données donc on affiche⁵ tout les données relative a ce tag. ou bien c'est un nouveau ID qui nécessite une saisie⁴ des données relative a ce dernier. L'application ajoute directement des données relative au la position actuelle en utilisant le system GPS¹ les deux figure suivante représente les *layout* qui prend en charge ces fonctionnalité.

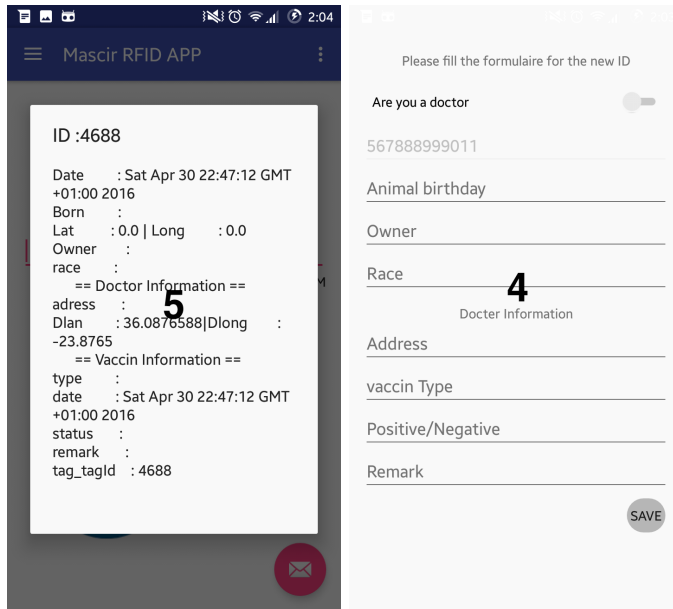


FIGURE 5.9 – Première layout

L'application permet aussi de sauvegarder les donner dans une base de données interne dans le téléphone et aussi dans des serveur distant. L'application offre trois service

-
1. Global Positioning System

de partage et sauvegarde des données (Gmail,Drive).L'application permet aussi le partage des données avec un autre périphériques en utilisant (Bleutouth,Beams). Dans la version ressante on peut partager en utilisant (imo et whatapp).

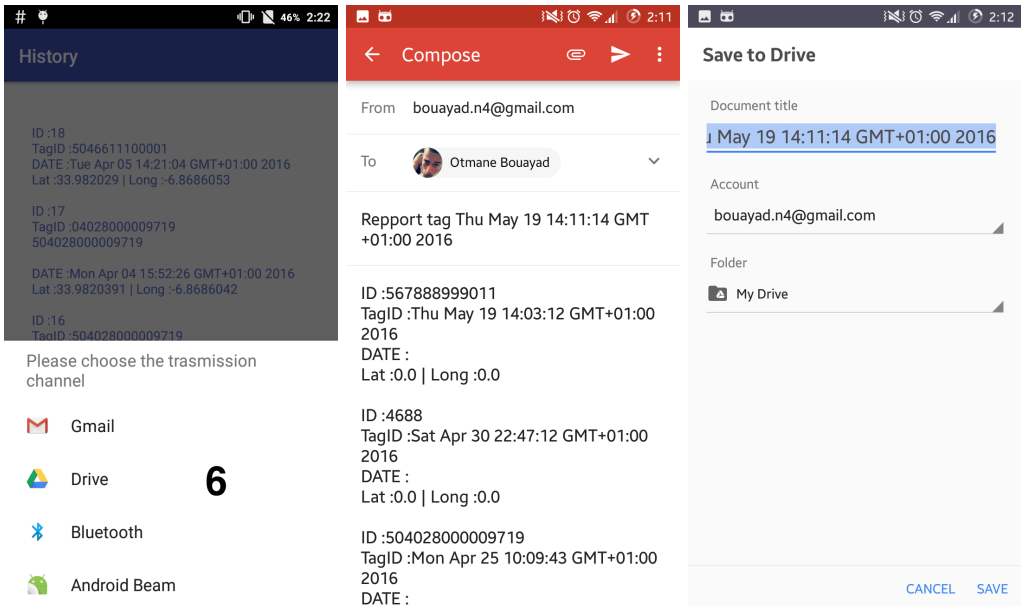


FIGURE 5.10 – Première layout

5.2.3 Antenne UHF

Pour décrire la performance d'une antenne , les définitions des différents paramètres sont nécessaires . Certains paramètres sont interdépendants et pas tous d'entre eux doivent être indiquées pour une description complète de la performance de l'antenne. La définitions des paramètres seront donnés dans section suivante. Beaucoup de ceux sont des standard IEEE (IEEE Std 145-1983). Ensuite je vais présenter les différentes résultats et simulation sur les antennes RFID UHF. La puce utiliser est la H3 de Alien. Le logiciel de simulation est CST studio 2014 qui permet de calculer un grand nombre des paramètres d'antenne.

Les paramètres de l'antenne

- **RADIATION PATTERN** Un motif de motif ou une antenne rayonnement de l'antenne est définie comme : une fonction mathématique ou d'une représentation graphique des propriétés de rayonnement de l' antenne en fonction des coordonnées spatiales. Dans la plupart des cas, le diagramme de rayonnement est déterminée dans la région de champ *Far-Field* est représentée comme une fonction des coordonnées de direction . Propriétés de rayonnement comprennent la densité de flux de puissance , l'intensité du rayonnement, l'intensité du champ , directivité , de phase ou de polarisation.

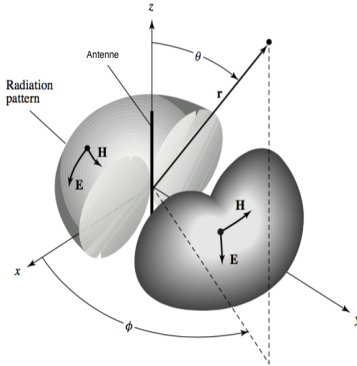


FIGURE 5.11 – Radiation pattern

- la directivité la directivité d'une antenne est définie comme : le rapport de l'intensité du rayonnement dans une direction donnée de l'antenne à l'intensité de rayonnement moyenne de toutes les directions. L'intensité de rayonnement moyenne est égale à la puissance totale rayonnée par l'antenne divisée par 4π . En forme mathématique elle peut être écrit comme :

$$D = \frac{U}{U_0} = \frac{4\pi U}{P_{rad}} \quad (5.1)$$

Si la direction n'est pas spécifiée, elle implique la direction de l'intensité maximale de rayonnement(Directivité maximum) exprimé comme :

$$D_{max} = D_0 = \frac{U}{U_0} = \frac{4\pi U_{max}}{P_{rad}} \quad (5.2)$$

D = directivité (sans dimension)

D_0 = directivité maximale (sans dimension)

U = intensité du rayonnement (W / unité d'angle solide)

U_{max} = intensité maximale de rayonnement (W / unité d'angle solide)

U_0 = intensité du rayonnement de la source isotrope (W / unité d'angle solide)

P_{rad} = puissance totale rayonnée (W)

— EFFICACITÉ

elle peut être définie comme suite : *comment bien l'antenne rayonne la puissance qui lui est donné*. Le total efficacité de l'antenne est utilisée pour prendre en compte les pertes au niveau des bornes d'entrée et à l'intérieur de la structure de l'antenne. Ces pertes peuvent être dues à la réfection en raison de mal adaptation entre la ligne de transmission et la source de l'antenne, la conduction et diélectrique

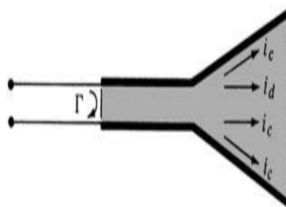


FIGURE 5.12 – réflexion, conduction, perte de diélectrique

D'une manière générale , le rendement global peut être écrit comme :

$$e_0 = e_r e_c e_d \quad (5.3)$$

e_0 = l'efficacité totale (dimension)

e_r = réflexion *mismatch*

e_c = l'efficacité de conduction (sans dimension)

e_d = efficacité diélectrique (sans dimension)

- *VSWR* Pour une radio (émetteur ou récepteur) pour délivrer une puissance à une antenne , l'impédance de la ligne de transmission radio et doit être bien adaptée à l'impédance de l'antenne . Le paramètre ROS ou VSWR est une mesure qui décrit numériquement la façon dont l' antenne a une adaptation d'impédance à la ligne de la radio ou de la transmission , il est connecté.

$$VSWR = \frac{1 + |\Gamma|}{1 - |\Gamma|} \quad (5.4)$$

- *S paramètres* décrivent la relation d' entrée-sortie entre les ports (ou terminaux) dans un système électrique . Par exemple, si nous avons 2 ports (intelligemment appelé Port 1 et Port 2), puis S12 représente la puissance transférée de Port 2 à Port 1. S21 représente la puissance transférée de Port 1 à Port 2. En général, SNM représente la puissance transférés de Port M à Port N dans un réseau multi-port.

Le premier prototype UHF

La conception UHF étiquette considérée est constituée d'une antenne à dipôle électrique avec une piste courbe d'inductance à travers le dipôle à des fins d'adaptation d'impédance. La structure et les dimensions de cette balise est représenté sur la figure 3. Cette balise est faite en utilisant une carte FR4 avec une épaisseur de substrat $h = 1,6$ mm et de permittivité diélectrique $\epsilon_r = 4,4$. Cette conception de l'étiquette est de simple face.

l'impédance simulée est de $20 + j152 \Omega$.l'impédance de la structure d'antenne de l'étiquette est pas exactement le conjugué de l'impédance de la puce [6] et donc, l'étiquette et l'impédance de la puce ne sont pas tout à fait adapté.

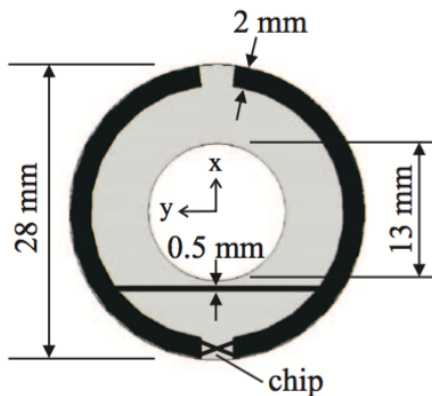


FIGURE 5.13 – Paramètre de simulation CLA

Les figures suivante représente les quatre importante paramétrés a prendre en considération pour le jugement d'une antenne. la première valeur est la s11

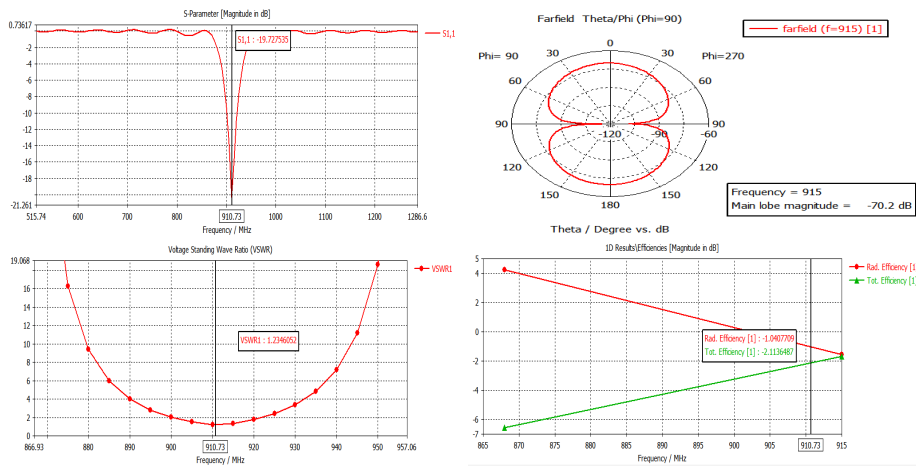


FIGURE 5.14 – Paramettre de sumulation CLA

L'antenne a boucle circulaire

La structure suivante représente la forme améliorer de l'antenne précédante, cette structure nous a permit de réduire la taille et donner la main sur un contrôle totale de fréquence. l'impédance de l'antenne simuler est de $27 + j180\Omega$.

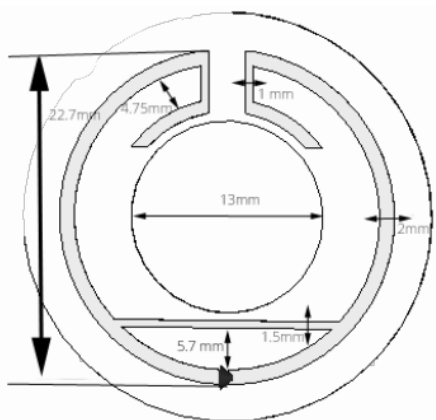


FIGURE 5.15 – antenne a boucle circulaire

Les figures suivante représente les quatre importante paramétrés a prendre en considération pour le jugement d'une antenne.

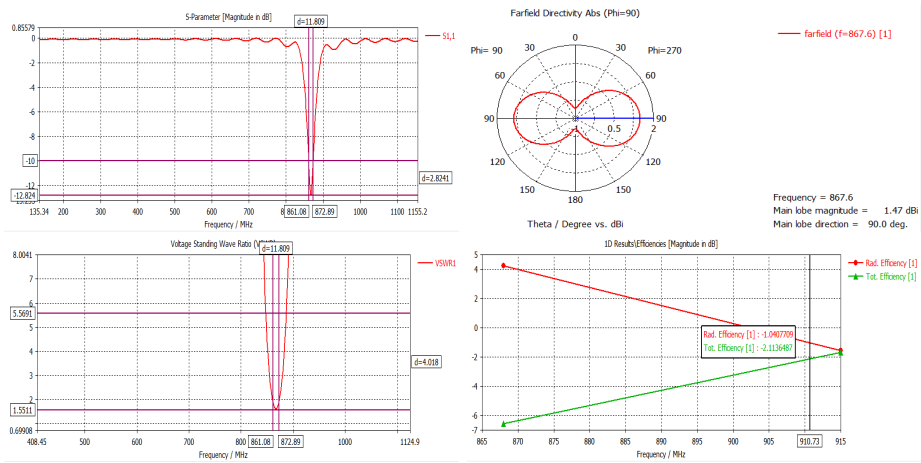


FIGURE 5.16 – Paramettre de simulation CLA

la figure suivante présente les résultats de l'analyse par *X-RAY Reverse engineering* qui permet de voir en interne sans massacre la pièce. Le figure suivante présente les résultats du *Reverse engineering*. L'étiquète est constituer de deux couche de cuivre, la puce est fixé sur l'antenne fixage avec *wire bonding*. la simulation de cette antenne sera présenter dans le chapitre suivant.

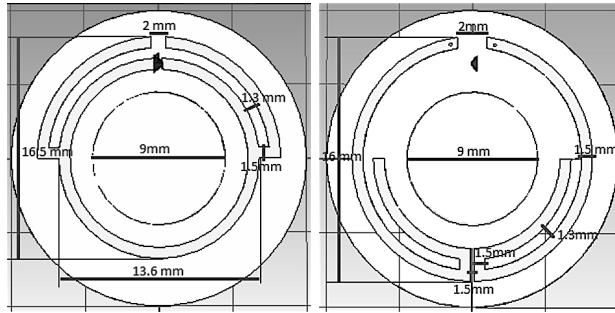


FIGURE 5.17 – S11du tag UHF améliorer

Les figures suivante représente les quatre importante paramétrés a prendre en considération pour le jugement d'une antenne.

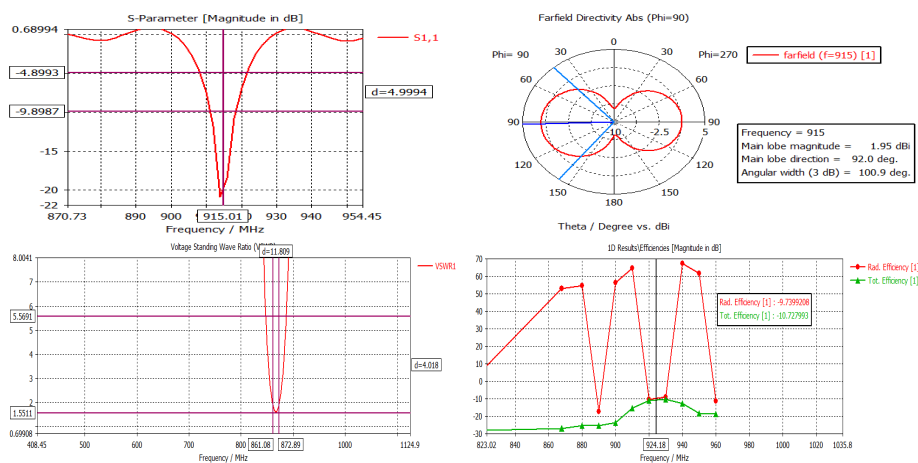


FIGURE 5.18 – Paramettre de sumulation CLA

Bibliographie

- [1] C. A. Balanis, "Antenna Theory : Analysis and Design", 2nd Edition, 1997, John Wiley and Sons.
- [2] J. Landt, "The history of RFID," *Potentials*, IEEE, vol. 24, no. 4, pp. 8–11, 2005.
- [3] Small Circular Loop Antenna for RFID Tag Hong-Kyun Ryu and Jong-Myung Woo Department of Radio Science and Engineering, College of Engineering, Chungnam National University, Daejeon, Korea
- [4] G. S. Pope, M. Y. Loukine, D. M. Hall, and P. H. Cole, "Innovative systems design for 13.56 MHz RFID," in *Wireless and Portable Design Conference*, Burling- ton, Massachusetts, 1997, pp. 240–245.
- [5] Texas Instruments, "Tag-it HF-I standard transponder IC - reference guide," 15 Jan. 2007.
- [6] "HF antenna design notes," Technical Application Report, 2003. [7] Alien Technologies, "915MHz EPC Class 1 RFID tags," 15 Jan. 2007. [Online]. Available : <http://www.alientechnology.com/products/documents/> alien 915mhz 128 bit.
- [7] EPCglobal Tag Data Standards Version 1.3 Ratified Specification March 8, 2006
- [8] EPC™ Radio-Frequency Identity Protocols Generation-2 UHF RFID Specification for RFID Air Interface Protocol for Communications at 860 MHz – 960 MHz Version 2.0.0 Ratified
- [9] La méthode Merise : H. Tardieu, A. Rochfeld, R. Coletti aux Ed. d'organisation AMC*Designor : Mise en œuvre de merise – Gilles GUEJ aux Editions Eyrolles www.commentcamarche.net : La méthode Merise.